

Міністерство освіти і науки України
Харківський національний університет радіоелектроніки

Факультет Інформаційно-аналітичних технологій та менеджменту
(повна назва)

Кафедра Інформатики
(повна назва)

КВАЛІФІКАЦІЙНА РОБОТА Пояснювальна записка

рівень вищої освіти другий (магістерський)

**ДОСЛІДЖЕННЯ МЕТОДІВ АНАЛІЗУ ТЕКСТУРНИХ ЗОБРАЖЕНЬ
ДЛЯ ВИРІШЕННЯ ЗАДАЧІ КЛАСИФІКАЦІЇ**
(тема)

Виконав:
студент 2 курсу, групи ІНФМ-22-3

Ляхов П.Л.
(прізвище, ініціали)

Спеціальності 122 Комп'ютерні науки
(код і повна назва спеціальності)

Тип програми освітньо-професійна

Освітня програма Інформатика
(повна назва освітньої програми)

Керівник доц. Яковлева О.В.
(посада, прізвище, ініціали)

Допускається до захисту

Зав. кафедри _____
(підпис)

Кобилін О.А.
(прізвище, ініціали)

2024 р.

Харківський національний університет радіоелектроніки

Факультет Інформаційно-аналітичних технологій та менеджменту
(повна назва)

Кафедра Інформатики
(повна назва)

Рівень вищої освіти другий (магістерський)

Спеціальність 122 Комп'ютерні науки
(код і повна назва)

Тип програми освітньо-професійна

Освітня програма Інформатика
(повна назва освітньої програми)

ЗАТВЕРДЖУЮ:

Зав. кафедри _____
(підпис)

« _____ » _____ 2023 р.

ЗАВДАННЯ
НА КВАЛІФІКАЦІЙНУ РОБОТУ

студентові Ляхову Павлу Леонідовичу
(прізвище, ім'я, по батькові)

1. Тема роботи Дослідження методів аналізу текстурних зображень для вирішення задачі класифікації

затверджена наказом по університету від 3 листопада 2023 року № 1280См

2. Термін подання студентом роботи до екзаменаційної комісії 30 грудня 2023
р.

3. Вихідні дані до роботи Математичні моделі аналізу текстурних зображень для вирішення задачі класифікації, Python, Google Drive, Google Colab, scitic-image, теоретичні відомості про методи аналізу текстурних зображень.

4. Перелік питань, що потрібно опрацювати в роботі _____

1. Огляд сучасного стану питання аналізу текстурних зображень.

2. Текстурні зображення та задачі, пов'язані з аналізом текстурних зображень.

3. Методи опису текстури.

4. Задача пошуку та класифікації текстурних зображень.

5. Сучасні програмні засоби для вирішення задач комп'ютерного зору.

6. Математична модель методу лінійних бінарних шаблонів.

7. Математична модель методу, на основі матриці збігів.

8. Класифікація на основі нейронних мереж, донавчання моделі

9. Оцінка класифікатора за текстурними ознаками.

10. Алгоритм пошуку текстурних зображень.

11. Створення датасету текстур.

12. Реалізація методу бінарних шаблонів.

13. Реалізація методу, на основі матриці збігів.

14. Оцінка у порівняльному аспекті якості та швидкодії пошуку текстур за розглянутими методами.

5. Перелік графічного матеріалу із зазначенням креслеників, схем, плакатів, комп'ютерних ілюстрацій (п.5 включається до завдання за рішенням випускової кафедри) Актуальність проблеми пошуку текстурних зображень, постановка задачі, створення датасету текстур, математична модель методу лінійних бінарних шаблонів, математична модель методу, на основі матриці збігів, критерій схожості зображень, метрики для оцінки якості пошуку за текстурними ознаками, реалізація методу бінарних шаблонів, реалізація методу, на основі матриці збігів, оцінка у порівняльному аспекті якості та швидкодії пошуку текстур за розглянутими методами, висновки.

6. Консультанти розділів роботи (п.6 включається до завдання за наявності консультантів згідно з наказом, зазначеним у п.1)

Найменування розділу	Консультант (посада, прізвище, ім'я, по батькові)	Позначка консультанта про виконання розділу	
		підпис	дата

КАЛЕНДАРНИЙ ПЛАН

№ з/п	Назва етапів роботи	Терміни виконання етапів роботи	Примітка
1	Отримання завдання на кваліфікаційну роботу	03.11.2023	
2	Аналіз завдання, підбір літератури	03.11.23-05.11.23	
3	Аналіз літератури з досліджуваної проблеми	05.11.23-10.11.23	
4	Аналіз технічних засобів	10.11.23-12.11.23	
5	Розробка методу	12.11.23-20.11.23	
6	Програмна реалізація	20.11.23-01.12.23	
7	Оформлення пояснювальної записки	01.12.23-03.12.23	
8	Перевірка на плагіат	03.12.23	
9	Рецензування	28.12.23	
10	Підготовка презентації та доповіді	29.12.23	
11	Занесення роботи в електронний архів	03.01.24	
12	Попередній захист кваліфікаційної роботи	09.01.24	

Дата видачі завдання 03.11.2023 р.

Студент _____
(підпис)

Керівник роботи _____ доц. Яковлева О.В.
(підпис) (посада, прізвище, ініціали)

РЕФЕРАТ/ABSTRACT

Пояснювальна записка до кваліфікаційної роботи: 87 с., 1 табл., 75 рис., 31 джерело.

ТЕКСТУРА, РОЗПІЗНАВАННЯ ЗОБРАЖЕНЬ, ПОШУК ЗОБРАЖЕНЬ, МІРА ПОДІБНОСТІ, ЛІНІЙНІ БІНАРНІ ШАБЛони, МАТРИЦЯ ЗБІГІВ, MOBILENETV2, PYTHON, GOOGLE COLAB, MAHOTAS, SCIKITS-IMAGE, OPENCV.

Об'єктом роботи є проблема класифікації та пошуку текстурних зображень. Метою роботи є дослідження методів аналізу текстурних зображень для вирішення задачі класифікації текстур.

Робота присвячена порівнянню точності та швидкодії класифікації на основі класичних методів отримання ознак текстурних зображень з нейромережовим підходом. Як класичні методи були розглянути метод локальних бінарних шаблонів та метод, на основі матриці збігів. Як приклад неромережевого підходу розглядалось донавчання нейронної моделі MobileNet2. Для проведення досліджень створено датасет зображень текстур, де на одному зображенні присутня текстура, що належить до одного класу. Розроблено алгоритм класифікації зображень на основі аналізу текстурних ознак та його програмна реалізація з використання мови Python, онлайн середовища Google Colab та бібліотек Scikits-image, OpenCV.

TEXTURE, IMAGE RECOGNITION, IMAGE SEARCH, SIMILARITY MEASURE, LINEAR BINARY PATTERNS, CO-OCCURRENCE MATRIX, MOBILENETV2, PYTHON, GOOGLE COLAB, MAHOTAS, SCIKITS-IMAGE, OPENCV.

The subject of the study is the problem of classification and texture image retrieval. The aim of the research is to investigate methods for analyzing texture images to address the task of texture classification.

The work is dedicated to comparing the accuracy and efficiency of classification based on classical texture feature extraction methods with a neural network approach. Classical methods such as Local Binary Patterns and Co-occurrence Matrix were considered. As an example of a non-neural network approach, fine-tuning of the MobileNet2 neural model was explored. To conduct the research, a dataset of texture images was created, where each image contains a texture belonging to a specific class. An image classification algorithm based on texture feature analysis was developed, and its software implementation was carried out using the Python language, the online environment Google Colab, and the Scikit-image and OpenCV libraries.

ЗМІСТ

Перелік умовних позначень, символів, одиниць, скорочень і термінів	6
Вступ.....	7
1 Сучасний стан питання аналізу текстурних зображень	10
1.1 Текстурні зображення та задачі, пов'язані з аналізом текстурних зображень	10
1.2 Методи опису текстур	11
1.2.1 Класичні підходи до аналізу текстури.....	11
1.2.2 Нейромережевий підхід до опису текстур	14
1.3 Задача пошуку та класифікації текстурних зображень.....	17
1.4 Сучасні програмні засоби для вирішення задач комп'ютерного зору.....	20
1.5 Існуючі датасети	21
1.6 Постановка задачі	25
2 Дослідження методів опису текстур та класифікації текстур	27
2.1 Математична модель методу лінійних бінарних шаблонів.....	27
2.2 Математична модель методу, на основі матриці збігів	30
2.3 Критерій схожості зображень.....	33
2.4 Оцінка класифікатора за текстурними ознаками	36
2.5 Нейронна мережа MobileNetV2 та принципи донавчання нейронних мереж, навчання нейронної мережі.....	41
2.6 Алгоритми пошуку та класифікації текстурних зображень.....	42
3 Практична реалізація методів класифікації текстурних зображень, їх порівняльний аналіз	45
3.1 Створення датасету текстур.....	45
3.2 Налаштування програмного середовища	47
3.3 Підготовка зображень для використання медів бінарних шаблонів	49
3.4 Реалізація методу бінарних шаблонів.....	51

	6
3.5 Реалізація методу, на основі матриці збігів	56
3.6 Донавчання нейронної мережі MobileNetV2	58
3.6.1 Розширення датасету текстур та підготовка до завантаження в модель.....	59
3.6.2 Донавчання MobileNetV2	61
3.7 Оцінка у порівняльному аспекті якості та швидкодії пошуку текстур за розглянутими методами	66
3.7.1 Оцінка якості класифікації методом ЛБШ та матриць збігів	66
3.7.2 Оцінка якості класифікації на основі моделі MobileNetV2 ..	80
3.7.3 Підвищення якості класифікації на основі MobileNetV2	80
3.7.4 Розширення датасету текстур та класифікація текстур з розширеного датасету на основі моделі MobileNetV2.....	80
3.7.5 Порівняння швидкодії	80
3.8 Висновки щодо розглянутих методів	81
Висновки	82
Перелік джерел посилання	84

**ПЕРЕЛІК УМОВНИХ ПОЗНАЧЕНЬ, СИМВОЛІВ, ОДИНИЦЬ,
СКОРОЧЕНЬ І ТЕРМІНІВ**

ЛБШ – локальні бінарні шаблони

ШІ – штучний інтелект

МЗНМ – мультиколонна згорткова нейронна мережа

ВСТУП

Зацікавленість у комп'ютерному зорі стала однією з піонерських сфер у сфері штучного інтелекту, разом з такими сферами, як автоматизоване доказування теорем та ігри, що вимагають розуму. Концепція першої штучної нейронної мережі, персептрона, була запропонована Френком Розенблаттом, натхненна аналогією з людською сітківкою, і ця концепція була випробувана через задачу розпізнавання символічних зображень.

Проблематика комп'ютерного зору завжди вважалась значущою, проте її складність часто недооцінювалася. У 1966 році Марвін Мінський, один з піонерів штучного інтелекту, прийняв виклик вирішити цю проблему. Не усвідомлюючи повної складності завдання, він доручив його своєму студенту на літній період. У порівнянні, програмування програми для гри у шахи на рівні гросмейстера вимагало значно більше часу. Сьогодні вже ясно, що розробка програми для перемоги у шахах є простішою, ніж створення адаптивної системи управління з підсистемою комп'ютерного зору, здатною розпізнавати фігури на шаховій дошці.

Розвиток у сфері комп'ютерного зору залежить від двох основних чинників: прогресу в теоретичних знаннях, методиках та вдосконаленні апаратного забезпечення. Протягом тривалого періоду академічні дослідження та теоретичні основи опережали практичне застосування цих технологій.

З часом, завдяки удосконаленню процесорів і розвитку цифрових камер, ситуація стала змінюватися. Досягнення певного рівня продуктивності, необхідного для ефективної обробки зображень у прийнятний час, сприяло розробці багатьох програм у сфері комп'ютерного зору. Цей процес є поступовим і триває досі.

Сучасні системи машинного зору використовуються для автоматизації різноманітних виробничих процесів, таких як автоматичне розпізнавання промислових компонентів, їх класифікація, перевірка розмірів, упаковка

товарів, моніторинг їх розміщення в процесах зварювання, точна установка в певному місці та інше.

Системи машинного зору працюють шляхом аналізу двовимірних функцій зображення. Незважаючи на те, що зображення лише частково відтворюють фізичну реальність, вони надають важливу інформацію, яка використовується всіма біологічними системами, включно з людиною.

Інформація про стан поля зору походить від поля яскравості. Це поле, зазвичай неоднорідне і мінливе, у кожному просторовому елементі характеризується яскравістю, кольоровим тоном та насиченістю, які можуть змінюватися з часом.

Головні завдання систем машинного зору в роботизованих технічних системах полягають у визначенні робочого простору, що містить об'єкти для пошуку, виборі фону, розпізнаванні образів та вимірюванні статичних і динамічних характеристик об'єктів на основі їх візуального представлення.

Комплекс методик, що застосовується в процесі аналізу зображень в рамках систем штучного зору, класифікується відповідно до етапів обробки зображення і охоплює три основні категорії.:

- ініційна обробка: Цей етап включає дії такі як усунення шуму, розділення зображення на відповідні частини, і виявлення країв об'єктів;

- розробка деталізованих описів: На цій стадії відбувається визначення характеристичних векторів або характеристик, створення структурних елементів та побудова моделей;

- аналіз та інтерпретація описів: Заключний етап, який передбачає вирішення про відповідність між образами та стандартними моделями, що були сформовані в процесі аналізу, а також оцінка атрибутів об'єктів.

Два останні етапи відносяться до задачі "інтерпретації зображень", яка є ключовою у галузі штучного інтелекту. Сучасні методи обробки та аналізу зображень спираються, з одного боку, на фундаментальні математичні принципи, як-от теорія множин, математичний аналіз, алгебра, статистична теорія прийняття рішень, а з іншого - на можливість моделювати складні

візуальні алгоритми обробки даних за допомогою програмування та дослідження їх характеристик на сучасних комп'ютерах.

Одне з найважливіших завдань у області обробки зображень - знаходження зображення, яке відповідає заданому зразку. Незважаючи на наявність успішних рішень, наразі це завдання вирішується лише для конкретних випадків з певними обмеженнями щодо типу зображення, включаючи геометричні та яскравісні спотворення.

Головна мета дослідження полягає у вивченні методів розпізнавання текстур, заснованих на класичних підходах.

1 СУЧАСНИЙ СТАН ПИТАННЯ АНАЛІЗУ ТЕКСТУРНИХ ЗОБРАЖЕНЬ

1.1 Текстури зображення та задачі, пов'язані з аналізом текстурних зображень

Текстура відображає розташування кольорів чи рівнів інтенсивності у зображенні. Часто вона зустрічається на зображеннях, що відтворюють природні сцени або сцени зі штучними об'єктами. Елементи, як-от пісок, камінь, трава, листя або цегла, створюють текстурний зміст зображення. На прикладі рисунку 1.1 можна побачити різні типи текстур [1].

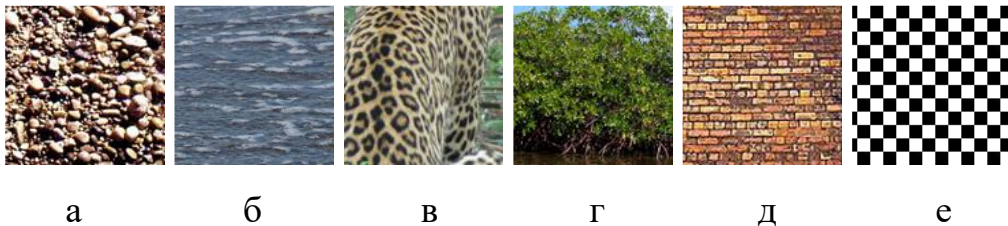


Рисунок 1.1 – Приклади текстур: а – галька; б – поверхня води;
в – плями на шкірі леопарда; г – листя; д – текстура цегляної стіни;
е – штучно створена текстура

Сучасні підходи до аналізу текстур у зображеннях знаходять застосування в широкому спектрі сфер для виконання різноманітних завдань. Це включає виявлення та ідентифікацію текстурних об'єктів, обчислення кількості осіб у місцях скупчення людей, оцінку площі лісових масивів, визначення збитків від лісових пожеж за допомогою аеро- та космічних знімків, аналіз даних дистанційного зондування планети, обробку біомедичних зображень, а також аналіз текстур у стокових фотографіях.

Попри багаторічні наукові дослідження та розробки в області обробки зображень, багато задач все ще залишаються невирішеними, зокрема, в

аспектах розуміння та аналізу зображень. Це зумовлено складністю задачі розпізнавання візуальних образів, яка є далеко не простою [2].

На даний момент, сфера аналізу зображень, особливо текстурних, активно розвивається. Вивчаються нові методології, використовуються інноваційні алгоритми, та створюються нові бібліотеки з готовими рішеннями для аналізу та обробки зображень.

1.2 Методи опису текстур

На сьогодні існує багато різних підходів і методів для розв'язання задачі розпізнавання, а також численні техніки, які оптимально підготовлюють зображення для розпізнавання шляхом виконання різних процесів обробки зображень.

Процес розпізнавання може відбуватися на основі аналізу інформативних характеристик зображень або самого зображення. Зазвичай методи опису текстур поділяють на дві основні категорії: класичні методи, що включають інтелектуально-аналітичний підхід, та методи, що базуються на штучному інтелекті, зокрема на використанні нейронних мереж.

1.2.1 Класичні підходи до аналізу текстури

Одним з ключових завдань у текстурному аналізі є точне визначення самої концепції текстури. Існують два основні підходи до цього:

– структурний підхід: В цьому контексті текстура розглядається як сукупність базових елементів, званих текселями, які розміщені за певним регулярним чи повторюваним порядком;

– статистичний підхід: В рамках цього підходу текстура оцінюється за допомогою кількісного аналізу розподілу значень інтенсивності у певній області зображення.

Перший підхід, хоча й привабливий, в основному ефективний для регулярних штучних образів. Проте на практиці частіше вдаються до другого, більш універсального підходу, який також є простішим у плані виконання обчислень.

Важливо відзначити, що характеристики текстурних ознак безпосередньо залежать від розміру оброблюваної ділянки зображення. Більше вікно дозволяє адекватно відобразити текстурні властивості на більшій площі цільового зображення, зменшуючи вплив окремих елементів вікна на оцінку текстури. Проте, при використанні малого вікна, може виявитися недостатньо інформації для адекватного опису цільових об'єктів. Типовим для текстурного розпізнавання є той факт, що в рамках окремих зон сканування можуть зустрічатися як однорідні текстури одного класу, так і межі різних текстур та їхні комбінації.

Одним з найчастіше використовуваних способів представлення текстури є використання вектора текстурного опису. Цей вектор містить числові компоненти, які відображають загальні параметри текстури заданого зображення або окремої його частини.

Лінійне бінарне розбиття (ЛБР) представляє собою ефективну та практичну техніку для аналізу текстур. Вона полягає в порівнянні інтенсивності кожного пікселя на зображенні з інтенсивністю його восьми сусідніх пікселів. Результати порівняння з цими восьми сусідами можуть бути відображені як 8-бітне двійкове число $b_1b_2b_3b_4b_5b_6b_7b_8$. Тут кожен біт b_i дорівнює 0, якщо інтенсивність i -го сусіда менша або дорівнює інтенсивності розглядуваного пікселя. У протилежному випадку b_i встановлюється в 1. На основі отриманих двійкових чисел можна побудувати гістограму, яка потім використовується як опис текстури зображення [2].

Текстура, зокрема, характеризується розподілом сірих відтінків, що дозволяє оцінювати особливості зображення, які залежать від статичних обчислень другого порядку. Одним із прикладів статистичного підходу є використання матриць співінцидентності, створених на основі вихідних

зображень, з подальшим розрахунком різноманітних статистичних моментів (або характеристик).

Метод матриці співінцидентності допомагає визначити, чи належать певні ділянки зображення до одного текстурного класу, шляхом розрахунку для кожної ділянки відповідної матриці співінцидентності.

Матриця співпадінь складається з двовимірного масиву P , де індекси рядків та стовпців представляють множину V дозволених значень пікселів у зображенні. Елемент $P(a, b)$ відображає частоту, з якою значення a виникає в певному просторовому відношенні до значення b на зображенні. Це просторове відношення визначається за допомогою вектора, який вказує на зсув між пікселем із яскравістю a та пікселем із яскравістю b . Наприклад, можна вибрати просторове відношення, де b є правим сусідом a . На базі цієї матриці можна виконати розрахунок різних характеристик текстури [3].

Побудова матриць співпадінь вимагає значної обчислювальної роботи, і науковці вказують на кілька складнощів, пов'язаних з їх використанням. Однією з основних проблем є відсутність універсального методу для точного вибору вектора зсувів та визначення, яка з характеристик матриці найбільш підходить для конкретної задачі.

Метод енергетичних характеристик, запропонований Лавсом (Laws), припускає ідентифікацію різних типів текстур за допомогою локальних масок. Лавс пропонує енергетичний підхід, де оцінюється зміна текстурного вмісту в межах вікна з фіксованим розміром.

Для розрахунку енергетичних характеристик використовується набір з дев'яти масок розміром 5×5 . Після цього енергетичні характеристики кожного пікселя аналізованого зображення представляються у вигляді вектора, що складається з 9 чисел.

У методі енергетичних характеристик Лавса спочатку усувається вплив інтенсивності освітлення на зображення. Це досягається переміщенням малого вікна по зображенню та відніманням локального середнього значення від кожного пікселя. Ця попередня обробка утворює зображення, на якому

середня інтенсивність у кожному окремому піксельному сегменті наближається до нуля. Розмір вікна залежить від типу зображень. Після попередньої обробки, до зображення застосовуються шістнадцять масок розміром 5×5 , в результаті чого утворюються шістнадцять профільтованих зображень.

Після отримання енергетичних карт симетричні пари комбінуються, що призводить до створення дев'яти фінальних карт [4].

У структурних підходах до текстурного аналізу передбачається, що текстури складаються з простих текстурних примітивів, розташованих відповідно до певних правил, які регулярно або майже регулярно повторюються.

З геометричної точки зору, повторюваний розподіл текстурних елементів на зображенні можна оцінити за допомогою функції автокореляції, що дозволяє визначити рівень регулярності та зернистості текстури. Для крупнозернистих текстур значення автокореляційної функції зменшується менше, ніж для дрібнозернистих текстур. У геометричних методах текстура розглядається як сукупність 'елементів' або примітивів.

Таким чином, використання класичних підходів дозволяє визначати характеристики текстури шляхом накладання певних масок, за допомогою емпіричних методів або через визначення послідовностей чи закономірностей у створених векторах.

1.2.2 Нейромережевий підхід до опису текстур

Штучний інтелект (ШІ) є напрямком сучасної інформатики, який розвивається з надзвичайною швидкістю. Незважаючи на численні спроби точно визначити ШІ, універсальне визначення до цього часу відсутнє. ШІ - це область інформатики, що зосереджена на створенні комп'ютерних систем, здатних виконувати завдання, які традиційно вважаються вираженням

інтелекту. Таким чином, ШІ охоплює широкий спектр завдань, які людина вирішує легко, але які складно для виконання обчислювальними системами. Ці завдання сприяли розвитку різноманітних напрямків у сфері ШІ, включаючи представлення завдань і пошук рішень, доведення теорем, представлення знань, експертні системи, навчання і виявлення закономірностей, спілкування природною мовою, розпізнавання образів, комп'ютерний зір, мови програмування систем ШІ та інше.

У сфері розпізнавання образів ведуться дослідження зі сприйняття зорової, слухової та інших видів інформації [5].

Існують різні типи нейронних мереж, серед яких особливу увагу заслуговують глибокі та згорткові нейронні мережі. Глибокі нейронні мережі відрізняються від звичайних нейронних мереж наявністю декількох прихованих шарів, що дозволяє здійснювати багаторівневий процес розпізнавання образів. У мережах глибокого навчання кожен шар навчається розпізнавати певний набір ознак, заснований на вихідних даних попереднього шару. Чим далі дані проходять через нейронну мережу, тим складніші ознаки можуть бути виявлені, оскільки вони є комбінацією ознак попередніх шарів.

Під час тренування глибокої мережі на навчальних даних кожен шар автоматично вивчає ознаки, намагаючись мінімізувати відмінності між очікуваним та фактичним результатами.

Згорткові мережі – це нейронні мережі, які використовують згортку замість множення принаймні в одному з їх шарів [6]. Формулу згортки приведено нижче:

$$(B * Hq)_{ij} = \sum_{m,n=-(q-1)}^{q+1} Hq(q + m, q + n)B(i + m - 1, j + n - 1),$$

де (w, x) – розраховує мий розмір карти;

mW – ширина попередньої карти;

mH – висота попередньої карти.

Ось деякі з найбільш поширених архітектур нейронних мереж, що використовуються в сучасній інформатиці:

Мультиколонна згорткова нейронна мережа (МЗНМ): Вперше представлена у 2016 році, ця мережа характеризується своєю здатністю створювати карту щільності з вхідних зображень. МЗНМ призначена для вищої точності в порівнянні з попередніми техніками і може обробляти зображення різного розміру і роздільної здатності. Її особливість полягає у використанні різних розмірів ядра згортки для адаптації до перспективних змін розмірів у зображенні. Мережа включає три згорткові колонки з різними розмірами ядра, кожна з яких моделює карту щільності на різних масштабах, причому загальна кількість параметрів мережі сягає майже 130 тисяч [7].

Згорткова нейронна мережа для розпізнавання перевантажених сцен (CSRNet): Запропонована в 2018 році, CSRNet призначена для поліпшення методів підрахунку у складних сценах. Мережа використовує глибоке навчання для розпізнавання переповнених сцен та створення деталізованих карт щільності. Вона складається з двох частин: попередньо навченої мережі VGG-16 для вилучення ознак та CNN з розширеними ядрами згортки, замінюючи традиційні операції об'єднання. Загальна кількість параметрів для навчання перевищує 16 мільйонів [8].

Нейронна мережа з високою роздільною здатністю для підрахунку людей у натовпі (MRCNet): MRCNet, поділена на кодер на основі VGG-16 та декодер з дволінійними шарами підвищеної вибірки та шарами згортки, використовує дві функції втрат для оцінки зображення і створення карт щільності натовпу. Ця мережа розглядає процес створення карт щільності як дві взаємопов'язані задачі, що дозволяє досягти високої роздільної здатності [6].

Зазвичай застосовують згорткові нейронні мережі, які розробляються і оптимізуються за допомогою навчання під наглядом. Для цього спочатку потрібно підготувати мережу, а потім її використовувати, але для цього вимагається значний обсяг даних. Наприклад, потрібен датасет, який містить

50000 зображень для тренування, 5000 для валідації та ще 5000 зображень для тестування. Через відсутність відповідного датасету, у дослідженні, на яке посилається цей текст, не використовувались нейронні мережі для аналізу структур.

Таким чином, аналіз текстурних зображень за допомогою навчання під наглядом дозволяє формувати і визначати всі ключові ознаки текстури [9].

1.3 Задача пошуку та класифікації текстурних зображень

Для оцінювання ступеня подібності між зображенням з бази даних та запитуваним зображенням, зазвичай використовуються певні методи вимірювання відстані або специфічні характеристики, які дозволяють кількісно оцінити рівень схожості між ними. Ці характеристики схожості зображень можуть бути класифіковані у чотири головні категорії:

- схожість кольорів;
- схожість текстури;
- схожість форми;
- схожість об'єктів і відносин між об'єктами.

Колірні характеристики подібності зазвичай є досить простими у застосуванні. Вони дозволяють порівнювати кольоровий склад одного зображення з іншим або з параметрами, вказаними в запиті. Такий метод пошуку часто ґрунтується на порівнянні гістограм кольорів. Користувач системи може вказати зразок зображення та запустити пошук інших зображень, що є близькими до нього згідно з критеріями гістограми кольорів. Міри відстані, що базуються на гістограмах кольорів, повинні враховувати схожість між різними кольорами.

Характеристики текстурної подібності більш складні, ніж кольорові. Зображення, схожі за текстурою, мають аналогічний розподіл кольорів або

рівнів яскравості, але самі кольори або яскравість можуть відрізнятися між двома зображеннями.

Вектор текстурного опису може бути застосований до текстури всього зображення, але це ефективно лише для зображень з однорідною текстурою. Для більш загальних зображень вектори текстурного опису зазвичай розраховуються для кожного пікселя в малих околицях (наприклад, 15×15). Після цього пікселі можуть бути згруповані за допомогою алгоритму кластеризації, який визначає унікальні мітки для кожної нової виявленої текстурної категорії.

Колір та текстура часто виступають як глобальні атрибути зображення. Міри відстані, які базуються на кольорі та текстурі, мають на меті визначити, чи має зображення заданий колір чи текстуру, і чи розташовані ці області так само, як і на запитуваному зображенні. Форма вважається не атрибутом цілого зображення, а скоріше окремої його частини. Для використання характеристик форми потрібні додаткові операції обробки, такі як ідентифікація областей, які часто виконуються вручну або за допомогою автоматичної сегментації в певних задачах.

Існують два основних способи формулювання завдань пошуку текстури в текстурних зображеннях:

- вибір зображень з колекції, що відповідають певним критеріям: Цей підхід зосереджений на визначенні зображень, які відповідають конкретним вимогам, наприклад, на основі оцінки подібності до обраного зразкового зображення для пошуку;

- класифікація зображень: У цьому випадку визначається, до якого класу належить введене зображення, та відображаються зображення, що належать до цього ж класу. Це може бути здійснено, наприклад, за допомогою методу k найближчих сусідів або класифікації на основі нейронних мереж..

Класифікація – це процес розподілу об'єктів або понять відповідно до певної основи (критерію чи ознаки), що веде до утворення класів або груп. При класифікації особливо важливим є вибір критерію або ознаки поділу. Ця

основа може бути істотною або неістотною. Класифікація, що ґрунтується на істотних ознаках, вважається природною, тоді як класифікація, заснована на несуттєвих ознаках, є штучною або допоміжною.

Метод k -найближчих сусідів (k -NN) застосовується для розв'язання задач класифікації. Він включає віднесення об'єкта до класу, до якого належить більшість з k його найближчих сусідів у багатовимірному просторі ознак. Цей метод є одним з найпростіших алгоритмів для навчання класифікаційних моделей.

Число k визначає кількість сусідніх об'єктів у просторі ознак, з якими порівнюється класифікований об'єкт. Наприклад, якщо $k = 10$, кожен об'єкт порівнюється з десятьма найближчими сусідами. Рисунок 1.2 демонструє приклад використання методу k -найближчих сусідів.

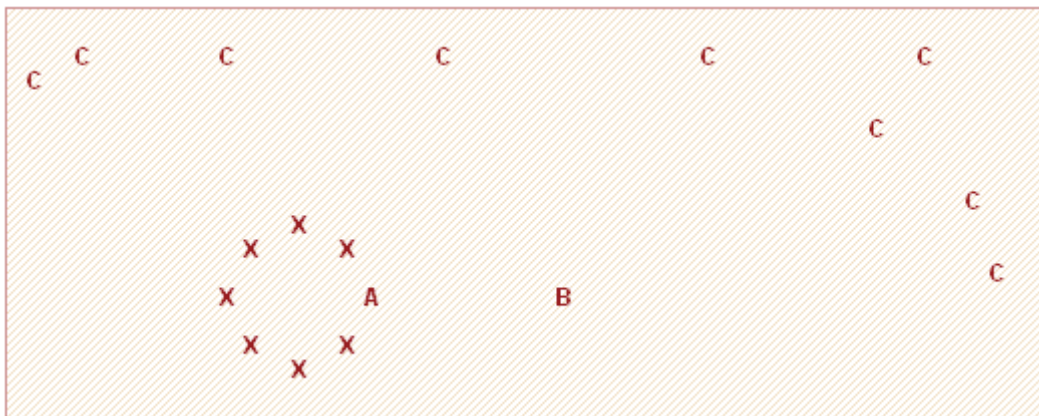


Рисунок 1.2 – Приклад застосування методу k -найближчих сусідів

Під час навчання алгоритму k -найближчих сусідів він зберігає всі вектори ознак та відповідні їм мітки класів. Коли алгоритм застосовується до нових даних, чий класові мітки ще невідомі, він розраховує відстань між вектором нового спостереження та векторами, що були збережені під час навчання. Після цього алгоритм визначає k найближчих векторів до нового спостереження і класифікує його до класу, до якого належить більшість із цих k сусідів. Вибір оптимального значення k є складним. З одного боку, збільшення k може підвищити достовірність класифікації, але з іншого боку,

це може розмити межі між класами. На практиці часто використовуються евристичні методи для визначення k , наприклад, метод перехресної перевірки [10].

Незважаючи на свою алгоритмічну простоту, метод k -найближчих сусідів часто показує високу ефективність. Однак основним недоліком методу є його висока обчислювальна складність, яка зростає квадратично з підвищенням кількості навчальних прикладів..

1.4 Сучасні програмні засоби для вирішення задач комп'ютерного зору

На сьогодні Python є однією з найпопулярніших мов програмування для аналізу даних і машинного навчання. Це інтерпретована, об'єктно-орієнтована мова високого рівня з динамічною типізацією. Високорівневі структури даних, динамічна семантика і зв'язування роблять Python ідеальним для швидкого розроблення програм і як інструмент для інтеграції існуючих компонентів. Python підтримує модулі та пакети, що сприяє модульності коду і його повторному використанню. Інтерпретатор Python і його стандартні бібліотеки доступні у скомпільованому та вихідному коді на більшості платформ. Python також підтримує кілька парадигм програмування, включаючи об'єктно-орієнтовану, процедурну, функціональну та аспектно-орієнтовану [11].

Сьогодні існує багато інтерпретаторів для Python. Давайте розглянемо деякі з найбільш популярних на даний момент:

- JupyterLab: Це веб-інтерактивне середовище для розробки Jupyter ноутбуків, коду та даних. JupyterLab дозволяє налаштовувати і організовувати інтерфейс для підтримки різних робочих процесів у науці даних, наукових обчисленнях та машинному навчанні. JupyterLab також є розширюваним і модульним, дозволяючи додавати нові компоненти та інтегруватися з існуючими [12].

- PyCharm: Це інтегроване середовище розробки для Python, яке пропонує інструменти для аналізу коду, графічний відладчик і підтримку юніт-тестів, а також підтримує веб-розробку на Django. PyCharm створений компанією JetBrains на основі IntelliJ IDEA, що є популярним для розробки на Java.

- Google Colab: Це безкоштовне інтерактивне хмарне середовище від Google, що дозволяє працювати з кодом разом з колегами. Colab базується на Jupyter ноутбуках і зберігає дані на Google Диску. Вона підтримує текст, формули, зображення, HTML і більше, дозволяючи програмувати на Python без необхідності завантаження бібліотек чи навантаження комп'ютера. Одна з ключових особливостей Colab – це безкоштовні GPU та TPU,

1.5 Існуючі датасети

Цифрові зображення стали широко використовуватися в різних галузях людської діяльності. За останні роки актуальність наукових досліджень у цьому напрямку значно зросла завдяки поширенню комп'ютерів, засобів обробки і зберігання даних, сигналів та зображень, а також великому застосуванню цифрових зображень як інструменту для аналізу в біології та незамінного джерела інформації. Давайте розглянемо існуючі набори даних з зображеннями.

Open Images - це датасет, що складається приблизно з 9 мільйонів зображень. Він містить мітки, що визначають області об'єктів на зображеннях, сегментаційні маски об'єктів і візуальні зв'язки. Цей датасет є унікально великим і різноманітним набором даних, який призначений сприяти розвитку сучасних методів аналізу та розуміння зображень.

До кожного зображення додані позитивні мітки об'єктів, що вказують на наявність певних класів об'єктів, і негативні мітки, що вказують на відсутність певних класів. У конкурсі оцінюються тільки позитивні мітки об'єктів на

зображенні. Для кожної позитивної мітки об'єкта в зображенні існує анотація для кожного екземпляра цього класу об'єктів на зображенні.

Навчальний набір Open Images V4 містить інформацію про 14,6 мільйонів обмежувачів прямокутників для 600 різних класів об'єктів, яка охоплює 1,74 мільйона зображень. Це робить його найбільшим з наявних наборів даних з анотаціями розташування об'єктів. Більшість прямокутників були створені професійними експертами вручну для забезпечення точності та однаковості. Зображення у цьому наборі даних дуже різноманітні і часто включають складні сцени з кількома об'єктами, в середньому 8,4 об'єкта на зображенні. Крім того, набір даних містить мітки рівня зображення, які охоплюють тисячі класів.

Dlib - цей датасет містить навчені моделі і використовується як частина прикладних програм бібліотеки dlib. Він надається як навчальний матеріал, який пояснює, як користуватися різними функціями бібліотеки dlib. Детектор обличчя, який включений до цієї бібліотеки, базується на методі гістограми орієнтації. Він здатен виконувати швидке вирівнювання обличчя з використанням ансамблю дерев регресії, і це зазвичай забирає всього одну мілісекунду.

PyTorch надає два основних об'єкти для роботи з даними: `torch.utils.data.DataLoader` та `torch.utils.data.Dataset`. Вони дозволяють використовувати попередньо завантажені набори даних або створювати власні дані. Набір даних містить зразки і відповідні мітки, а `DataLoader` допомагає легко ітерувати через набір даних для забезпечення зручного доступу до зразків.

Бібліотеки у галузі PyTorch надають низку попередньо завантажених наборів даних, таких як FashionMNIST, які в подробицях реалізують інтерфейс `torch.utils.data.Dataset` та містять функції, специфічні для конкретних даних [15].

TensorFlow також пропонує набори даних, готові для використання з TensorFlow та іншими Python ML-фреймворками, такими як Jax. Усі ці набори

даних представлені у форматі `tf.data.Datasets`, що спрощує їх використання та надає високопродуктивні можливості для обробки даних [16].

`Scikit-learn` постачається з невеликими стандартними наборами даних, які можна використовувати без необхідності завантаження зовнішніх файлів з веб-сайтів. Ці набори даних добре підходять для швидкої демонстрації різних алгоритмів, доступних в `scikit-learn`. Однак їхній обсяг часто занадто малий для реальних завдань машинного навчання.

Набір даних `Downsampled Imagenet` використовується для експериментів у сфері оцінки щільності та генеративного моделювання, а також для завдань оцінки глибини зображень та генерації. Він містить понад 1.3 мільйона зображень об'єктів, сцен, транспортних засобів, людей та інших об'єктів [17].

Набір даних `Lsun` містить широкомасштабні зображення різних об'єктів з визначених категорій, таких як спальні, вежі і інші. Цей набір даних використовується для завдань розуміння сцен (`scene understanding`). Він включає більше 9 мільйонів зображень сцен, які розділені на категорії.

Набір даних `Places 365` складається з 1.8 мільйонів зображень різних місць і сцен, включаючи офіси, котеджі, піри, поїзди з 365 категорій сцен. Він використовується для навчання глибоких нейронних мереж `CNN Places365`. У цьому наборі є 50 зображень на категорію для набору для перевірки та 900 зображень на категорію для набору для тестування.

`VGGFace2` є одним із найбільших наборів даних з зображеннями. Зображення у цьому наборі завантажуються з `Google Image Search` і можуть значно відрізнятись за позами, віками, висвітленням, етнічною приналежністю і професіями. `VGGFace2` містить зображення людей різних національностей, акцентів, професій та вікових категорій. Всі фотографії осіб були зроблені "в дикій природі" з різними позами, виразами обличчя та при різних умовах освітлення і закриття об'єктів. Розподіл осіб у цьому наборі даних різний для різних особистостей і коливається від 87 до 843, і в середньому міститься 362 зображення для кожної особи.

COCO, зібраний у співпраці між Google, FAIR, Caltech та іншими організаціями, призначений для розв'язання завдань розпізнавання об'єктів і сегментації об'єктів на зображеннях, а також для розпізнавання об'єктів в контексті та суперпіксельної сегментації об'єктів. Даний набір даних містить 1,5 мільйона прикладів об'єктів, охоплює 80 категорій об'єктів і 91 категорію речей, а також містить 250 000 зображень людей з відзначеними ключовими точками [18].

CSOTextures - це набір текстурних зображень, які доступні у роздільній здатності до 8K, іноді навіть вище, тобто це зображення високої якості. Усі ці текстури супроводжуються картами PBR (фізичної обробки променів) та плитками. Для багатьох нових матеріалів використовується фотограметрія, що забезпечує докладні карти переміщення аж до рівня окремих пікселів. Багато з цих матеріалів постачаються з файлами речовин, що дає змогу налаштувати їх згідно з вашими власними потребами [19].

Отже, відомо, що існує значна кількість готових наборів даних з зображеннями, які застосовуються для розв'язання різноманітних завдань. Більшість з цих наборів не є рівномірними і не мають великої кількості текстурних зображень у вигляді цілих структур. Декілька прикладів таких ситуацій включають у себе, наприклад, зображення цегляної стіни, де нижня частина може бути вкрита травою. У контексті початкової роботи з алгоритмами це може значно вплинути на результати досліджень. Тому такі набори даних не є ідеальними для аналізу текстурних зображень.

1.6 Постановка задачі

Таким чином, дослідження методів аналізу текстурних зображень є актуальним завданням для обробки і розпізнавання зображень.

Об'єктом роботи є проблема пошуку та класифікації текстурних зображень.

Для досягнення мети дослідження методів аналізу текстурних зображень і вирішення завдань пошуку та класифікації текстур, потрібно виконати наступні завдання:

- розглянути поточний стан питання аналізу текстурних зображень.
- дослідити різні методи опису текстур (включаючи класичні підходи та нейромережеві підходи) для збагачення розуміння їх ефективності і областей застосування.
- розібрати задачі пошуку та класифікації текстурних зображень, з'ясувати їх характеристики та вимоги.
- вивчити сучасні програмні засоби, які можуть бути використані для вирішення задач комп'ютерного зору в контексті аналізу текстур.
- дослідити існуючі датасети зображень, які можуть бути використані для навчання та тестування методів аналізу текстур.
- сформулювати конкретну мету та завдання дослідження.
- провести дослідження для вибору критерію прийняття рішення щодо схожості текстурних зображень.
- розробити алгоритм для пошуку та класифікації текстурних зображень в електронній колекції, використовуючи вивчені методи та програмні засоби.
- підготувати датасет текстурних зображень, який буде використовуватися для експериментів.
- реалізувати алгоритми пошуку та класифікації на основі локальних бінарних шаблонів, матриці збігів та нейронної моделі.
- провести порівняння результатів класифікації текстурних зображень, отриманих за допомогою досліджуваних методів.
- здійснити аналіз швидкодії реалізованих методів.
- зробити висновки щодо роботи цих алгоритмів та їхньої ефективності в контексті аналізу текстурних зображень.

2 ДОСЛІДЖЕННЯ МЕТОДІВ ОПИСУ ТЕКСТУР ТА КЛАСИФІКАЦІЇ ТЕКСТУР

2.1 Математична модель методу лінійних бінарних шаблонів

Метод локальних бінарних шаблонів - це спосіб опису для кожного пікселя, який вказує напрям, в якому зменшується яскравість. Цей метод є ефективним оператором, який представляє кожен піксель зображення у вигляді бінарного числа, залежно від інтенсивності його сусідніх пікселів.

В процесі виконання цього методу, центральний піксель візьмемо як поріг і порівняємо його значення яскравості з кожним з пікселів, які оточують його. Якщо значення більше порогу або рівне йому, то піксель отримує значення 1, інакше - 0. Отримане восьмибітне число відображає характеристику оточуючих пікселів і визначає околицю пікселя. Усього існує 256 можливих варіантів таких чисел (28).

Отже, кожному пікселю на зображенні присвоюється одна з 256 міток, які відображають його характеристики. З цих даних можна побудувати гістограму і порівнювати текстури зображень за допомогою гістограм ЛБШ [20]. На рисунку 2.1 наведено приклад роботи оператора ЛБШ над напівтоновим зображенням.

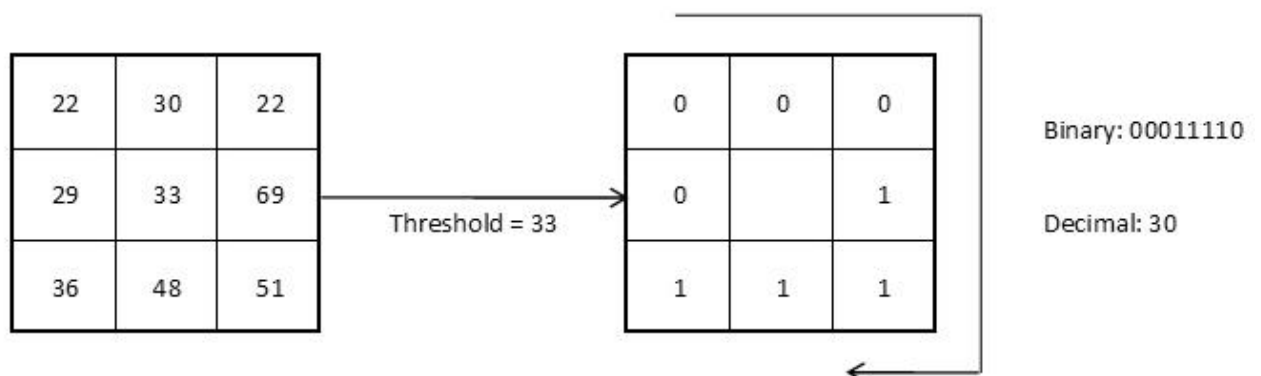


Рисунок 2.1 – Приклад роботи оператора ЛБШ

Існує варіація методу ЛБШ, в якій використовуються пікселі, що розташовані на певній відстані від центрального пікселя. У цьому випадку пікселі околиці розташовані на колі з радіусом R . Кількість точок на цьому колі може бути вибрана довільно і позначається як P . Для обчислення значень в цих точках для різних значень радіусу R і кількості точок P використовується білінійна інтерполяція [21].

На рисунку 2.2 представлені набори пікселів на колі для різних значень P та R .

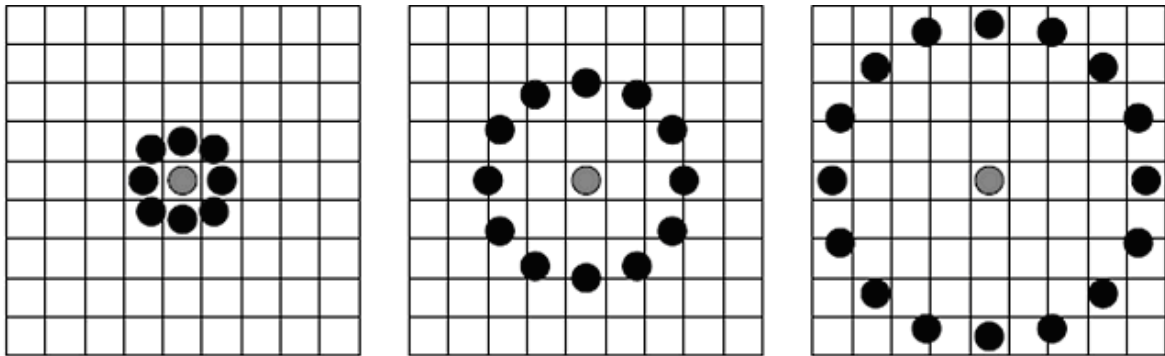


Рисунок 2.2 – Модифікований ЛБШ для різних P і R :

- а) кількість точок $P = 8$, радіус околу $R = 1.0$;
- б) кількість точок $P = 12$, радіус околу $R = 2.5$;
- в) кількість точок $P = 16$, радіус околу $R = 4$

Деякі бінарні коди несуть в собі більше інформації, ніж інші. Наприклад, локальний бінарний шаблон називається рівномірним, якщо в ньому міститься не більше трьох послідовних серій «0» і «1» (наприклад, 00000000, 001110000 і 11100001). Ці рівномірні ЛБШ важливі, оскільки вони визначають тільки суттєві локальні особливості зображення, такі як кінці ліній, межі, кути і плями (див. рисунок 2.3). Крім того, вони дозволяють значно заощадити пам'ять, вимагаючи менше різних шаблонів $(P(P-1)+2)$, ніж у випадку інших методів $(2P)$.

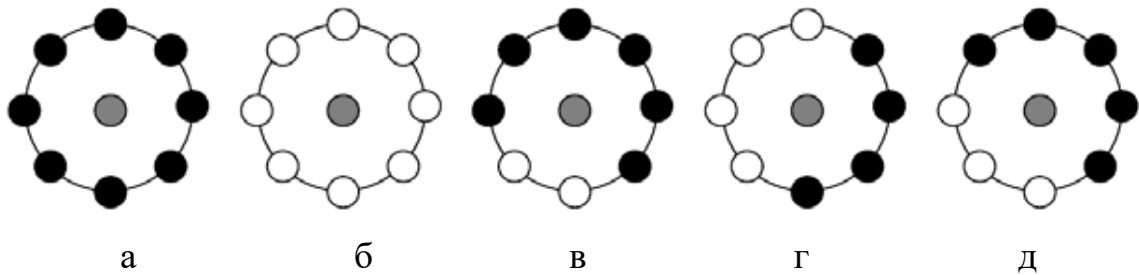


Рисунок 2.3 – Приклади локальних особливостей, що детектуються ЛБШ, де а – пляма, б – пляма або фон, в – кінець лінії, г – грань, д – кут

Математичний підхід до опису функціонування методу Локальних Бінарних Шаблонів (ЛБШ) може бути виражений через сумування різниць інтенсивностей між центральним пікселем і його сусідніми пікселями на околиці. Ця процедура визначає бінарний шаблон для центрального пікселя. [22]:

$$LBP(x, y) = \sum_{i=0}^{P-1} s(g_i - g_c) 2^i,$$

де x, y – координати центрального пікселя;

i – номер пікселя, що розглядається;

g_c – значення яскравості центрального пікселя;

g_i – значення яскравості пікселя, що розглядається.

$s(z)$ дорівнює:

$$s(z) = \begin{cases} 1, & z \geq 0; \\ 0, & z < 0. \end{cases}$$

Застосовуючи оператор Локальних Бінарних Шаблонів (ЛБШ) до кожного пікселя на зображенні, ми отримуємо можливість побудувати гістограму, в якій кожному рівномірному коду ЛБШ відповідає окремий стовпець. У цій гістограмі також присутній додатковий стовпець, який містить інформацію про всі нерівномірні шаблони.

Зображення можна розглядати як набір різноманітних локальних особливостей, які добре описуються за допомогою ЛБШ. Проте гистограма, побудована для всього зображення в цілому, відображає лише наявність різних локальних особливостей, не зберігаючи інформацію про їх розташування на зображенні. Для врахування такої інформації зображення може бути поділене на підобласті, в кожній з яких обчислюється власна гистограма ЛБШ. Шляхом об'єднання (конкатенації) цих гистограм може бути отримана загальна гистограма, яка враховує як локальні, так і глобальні особливості зображення. [23].

Отже, ми отримуємо зображення, в якому кожен піксель має свою унікальну мітку від 0 до 256 відповідно до методу Локальних Бінарних Шаблонів (ЛБШ). Після цього ми будемо гистограму g на основі цих міток. Гистограма g може бути використана для подальшої класифікації або аналізу зображення. Приклад побудови такої гистограми можна побачити на рисунку 2.4.

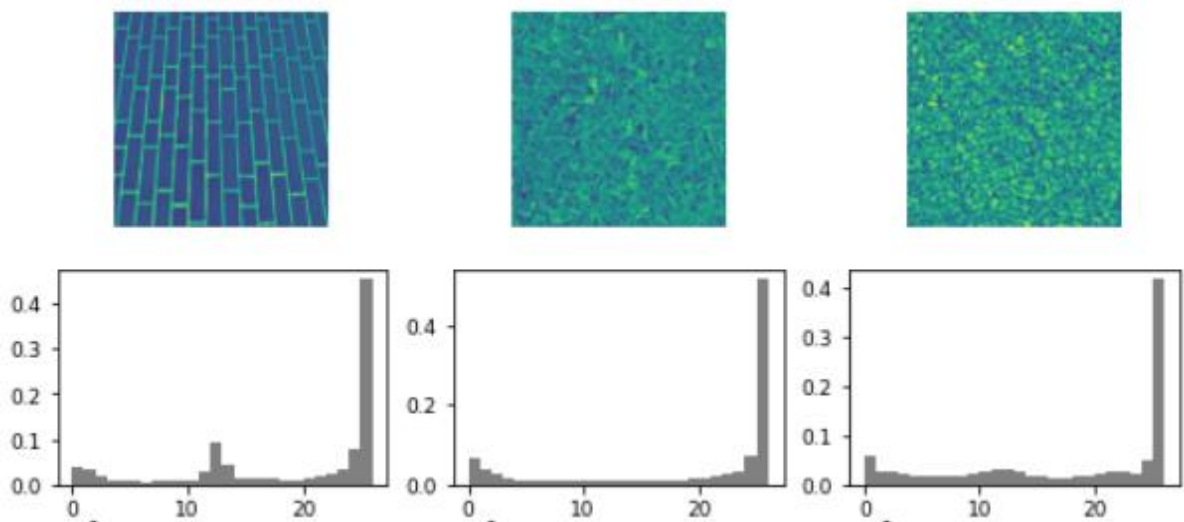


Рисунок 2.4 – Приклад відображення гистограм після обробки зображень ЛБШ

де $p(a, b, (r, s), (t, v)) = \begin{cases} 1, & \text{якщо } B(r, s) = a, B(t, v) = b; \\ 0, & \text{в іншому випадку } (t, v) = (r + dx, s + dy). \end{cases}$

Використаємо нормовану матрицю, яка визначається виразом:

$$N_d = \frac{P_d(a,b)}{\sum_a \sum_b P_d(a,b)}.$$

Обчислені значення входжень дійсно належать діапазону $[0, 1]$.

Матриці збігів є репрезентацією властивостей текстури, проте для безпосереднього аналізу зображень вони не завжди є зручними, наприклад, для порівняння двох різних текстур. Отже, дані матриці збігів використовуються для обчислення числових характеристичних ознак, які можуть служити більш компактним представленням текстури. У вашій роботі були використані наступні характеристики [2, 5, 3]:

$$x_1 = \sum_a \sum_b N_d^2(a,b),$$

$$x_2 = \sum_a \sum_b \frac{N_d(a,b)}{1+a+b},$$

$$x_3 = \sum_a \sum_b (a - b)^2 N_d^2(a,b),$$

$$x_4 = \max_{a,b} N_d(a,b),$$

$$x_5 = \sum_a \sum_b ab N_d(a,b),$$

$$x_6 = \sum_a \sum_b N_d(a,b) \log_2 N_d(a,b),$$

$$x_7 = \sum_a \sum_b \frac{N_d(a,b)}{1+(a-b)^2}.$$

Оскільки деякі характеристики мають значення більше 1, ми можемо знормалізувати їх за допомогою наступної функції [27]:

$$f(x) = \frac{e^{ax} - e^{-ax}}{e^{ax} + e^{-ax}},$$

де коефіцієнт a визначає кривизну графіка.

Після проведення нормалізації, всі характеристики набувають значень в межах від нуля до одиниці.

2.3 Критерій схожості зображень

У контексті аналізу даних, поняття критерію схожості відноситься до спеціальної функції, задача якої - вимірювання відстані між об'єктами, представленими як багатовимірні вектори в просторі характеристик.

Давайте розглянемо приклад, коли ми працюємо з двовимірним простором, де кожен об'єкт має свої власні координати:

- об'єкт $p - (x, y)$;
- об'єкт $q - (s, t)$;
- об'єкт $z - (v, w)$.

Таким чином, функція d класифікується як функція відстані або критерій схожості, за умови дотримання певних критеріїв:

- $d(p, q) \geq 0$;
- $d(p, q) = d(q, p)$;
- $d(p, q) \leq d(p, q) + d(q, z)$.

Часто в аналізі даних застосовуються такі метрики, як Евклідова відстань. Ця відстань є геометричним виміром у багатовимірному просторі і визначається на основі теореми Піфагора.

Нехай в n -вимірному просторі задані дві точки: $p(p_1, p_2, \dots, p_n)$ та $q(q_1, q_2, \dots, q_n)$.

Тоді Евклідова відстань між двома точками визначається за допомогою певної формули, яка використовує координати цих точок у просторі:

$$d(p, q) = \sum_{i=1}^n p_i - q_i.$$

Евклідова відстань вважається найбільш інтуїтивно зрозумілою і легко інтерпретованою мірою різниці або схожості об'єктів, представлених векторами ознак у багатовимірному просторі. Вона відображає основні властивості відстані між точками і тому широко використовується в аналізі даних для класифікації спостережень у класи та кластери, оцінки помилок, а також у візуалізаційних інструментах, наприклад, на картах Кохонена.

Відстань міських кварталів, також відома під кількома іншими назвами, такими як Манхеттенська відстань, метрика прямокутного міста, метрика $L1$, метрика міського кварталу, метрика таксі, метрика Манхеттена, прямокутна метрика, метрика прямого кута, була розроблена Германом Мінковським. Ця метрика розраховує відстань між двома точками як суму абсолютних значень різниць їх координат. Назва "Манхеттенська відстань" походить від сітчастого планування вулиць Манхеттена, і вона вимірює суму довжин проєкцій відрізка між точками на осі координат у n -вимірному векторному просторі:

$$d(p, q) = \sum_{i=1}^n |p_i - q_i|.$$

Манхеттенська відстань є чутливою до обертання координатної системи, але залишається незмінною при відображенні відносно осі координат або при перенесенні. У геометрії, яка базується на Манхеттенській відстані, дотримуються всі основні аксіоми.

Також існує підхід до розгляду дивергенції Куллбека-Лейблера (KL) як метрики відстані, хоча вона не є симетричною. Ця метрика кількісно оцінює відмінності між двома розподілами ймовірностей. Замість безпосередньої роботи з розподілом, можна використовувати інший розподіл з відомими характеристиками, наприклад, нормальний розподіл, для спрощення задачі. Дивергенція KL дозволяє визначити, чи краще використовувати розподіл Пуассона або нормальний розподіл для апроксимації даних. Для розподілів P і Q неперервної випадкової величини, дивергенція Куллбека-Лейблера обчислюється за допомогою інтегралу.

$$d(p, q) = \int p(x) \log\left(\frac{p(x)}{q(x)}\right) dx.$$

З іншої сторони, коли P і Q є розподілами ймовірностей дискретної випадкової величини, дивергенція Куллбека-Лейблера визначається шляхом сумування відповідних виразів. Це означає, що для дискретних розподілів процес обчислення цієї дивергенції відрізняється від методу, що застосовується для неперервних розподілів.

$$d(p, q) = \sum p_i(x) \log\left(\frac{p(x)}{q(x)}\right).$$

2.4 Оцінка класифікатора за текстурними ознаками

У сфері машинного навчання важливим аспектом є використання метрик для оцінки ефективності моделей і порівняння різних алгоритмів. Основний етап перевірки ефективності цих моделей - це тестування на вибірці, де вже визначені відповідності між документами та їх класами. Отримання такої тестової вибірки може бути складним і зазвичай вимагає значної ручної роботи, оскільки вона часто формується людьми.

Коли тестова вибірка готова, її використовують для оцінки працездатності класифікатора документів, порівнюючи його рішення з вже відомими правильними відповідями. Щоб визначити, чи алгоритм працює краще чи гірше, потрібно обрати відповідну числову метрику для оцінки його ефективності.

Далі розглянемо кілька критеріїв якості в задачах класифікації та фактори, які важливі при виборі метрики [28]. У простому випадку, така метрика може бути застосована до документів з використанням класифікатора, що вважається правильним рішенням.

$$Accuracy = \frac{P}{N},$$

У контексті оцінки машинного навчання:

– P означає кількість документів, для яких класифікатор прийняв правильне рішення.

– N - це розмір навчальної вибірки.

Ця метрика має особливість, яку необхідно враховувати: вона прирівнює всі документи за вагою. Це може бути проблематично у випадках, коли розподіл документів у навчальній вибірці є сильно зміщеним на користь одного чи декількох класів. В таких випадках класифікатор може бути більш точним у класифікації документів цих класів, в той час як інші класи залишаються недостатньо представленими.

Один із способів вирішення цієї проблеми - навчання класифікатора на збалансованому наборі документів. Однак, це може позбавити класифікатор інформації про відносну частоту класів, що також є важливою.

Альтернативний підхід - змінити методіку формальної оцінки якості, використовуючи такі метрики, як точність (precision) та повнота (recall). Ці метрики часто використовуються для оцінки алгоритмів вилучення інформації. Точність - це частка документів, які насправді належать даному класу, щодо всіх документів, які система віднесла до цього класу. Повнота - це частка документів, знайдених класифікатором, які належать до класу, щодо всіх документів цього класу у тестовій вибірці. Ці значення можна легко розрахувати на основі контингентної таблиці, яка складається для кожного класу окремо. окремо (табл. 2.1).

Таблиця 2.1 – Для визначення точності та повноти алгоритму в машинному навчанні використовуються такі позначення

Категорія і		Експертна оцінка	
		Позитивна	Негативна
Оцінка системи	Позитивна	TP	FP
	Негативна	FN	TN

У таблиці, яка використовується для оцінки алгоритму класифікації, відображається інформація про кількість правильних та неправильних рішень, які система ухвалила для документів певного класу. Вона включає:

- TP (True Positive): Випадки, коли система правильно ідентифікувала документи як належні до заданого класу.

- TN (True Negative): Випадки, коли система правильно визнала, що документи не належать до заданого класу.

- FP (False Positive): Випадки, коли система невірно визначила документи як належні до класу.

- *FN* (False Negative): Випадки, коли система невірно визначила документи як не належні до класу.

На основі цих показників можна обчислити точність та повноту:

$$Precision = \frac{TP}{TP + FP},$$

$$Recall = \frac{TP}{TP + FN}.$$

У практичному застосуванні, обчислення значень точності та повноти є значно зручнішим за допомогою матриці неточностей (confusion matrix), особливо коли кількість класів не перевищує 100-150.

Матриця неточностей представляє собою матрицю розміром N times N , де N - кількість класів. Стовпці матриці представляють експертні рішення, а рядки - рішення класифікатора. При класифікації документа з тестової вибірки відповідна комірка матриці (на перетині рядка і стовпця, що відповідають класам, визначеним класифікатором і реальним класом документа) інкрементується.

Точність та повнота для кожного класу в матриці неточностей розраховуються так:

– точність для класу визначається як відношення діагонального елемента матриці, що відповідає цьому класу, до суми елементів у відповідному рядку класу

$$Precision = \frac{A_{c,c}}{\sum_{i=1}^n A_{c,i}},$$

– повнота для класу - це відношення того ж діагонального елемента до суми елементів у стовпці, що відповідає цьому класу

$$Recall = \frac{A_{c,c}}{\sum_{i=1}^n A_{i,c}}.$$

У реальному світі часто буває складно досягти високих значень точності та повноти одночасно. Зазвичай, поліпшення одного з цих показників веде до зниження іншого. Тому існує потреба у метриці, яка забезпечувала б компромісний баланс між точністю та повнотою. Однією з таких метрик є F -міра.

F -міра - це метрика, яка поєднує в собі точність та повноту, використовуючи гармонійне середнє. Вона допомагає оцінити загальну якість класифікації, особливо коли потрібно знайти баланс між точністю та повнотою. F -міра знижується до нуля, якщо або точність, або повнота наближаються до нуля, тим самим підкреслюючи важливість обох показників. Її можна виразити як:

$$F = 2 \frac{Precision * Recall}{Precision + Recall}$$

Формула стандартної F -міри, яка призначена для рівного врахування точності та повноти, може бути адаптована таким чином, щоб надати різну вагу цим двом метрикам. Це може бути корисним, коли ви віддаєте перевагу одній метриці над іншою у вашому алгоритмі.

$$F = (\beta^2 + 1) \frac{Precision * Recall}{\beta^2 Precision + Recall}$$

- якщо $\beta < 1$, формула надає більшу вагу точності;
- якщо $\beta > 1$, більша вага надається повноті;
- при $\beta = 1$, формула стає стандартною F -мірою (або $F1$ -мірою), яка враховує точність і повноту порівню рисунк 2.6 – 2.8.

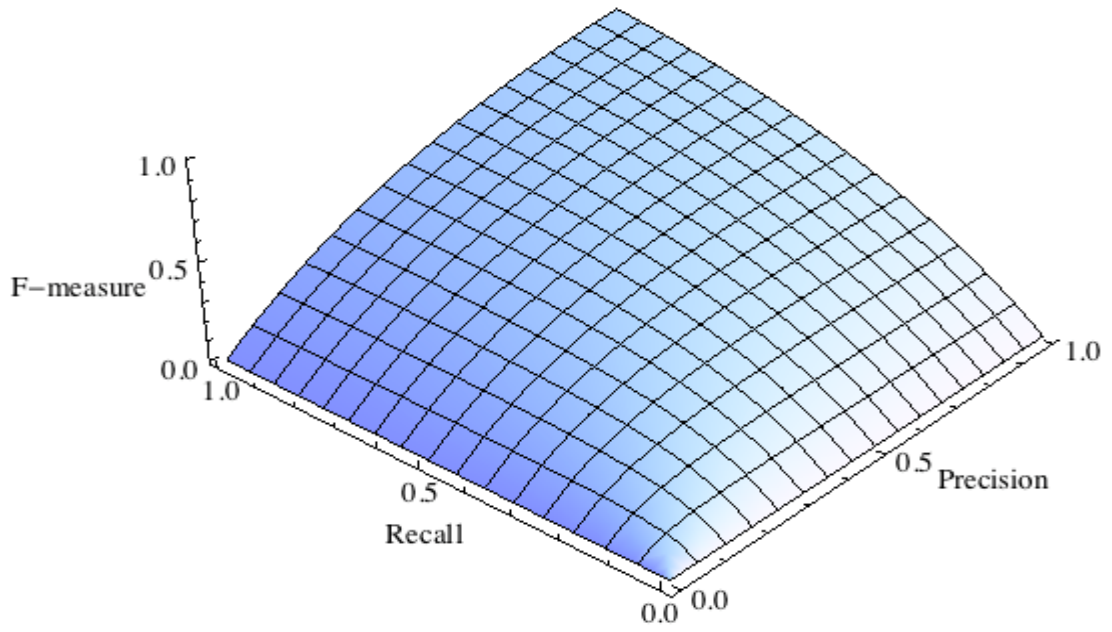


Рисунок 2.6 – Збалансована F -міра

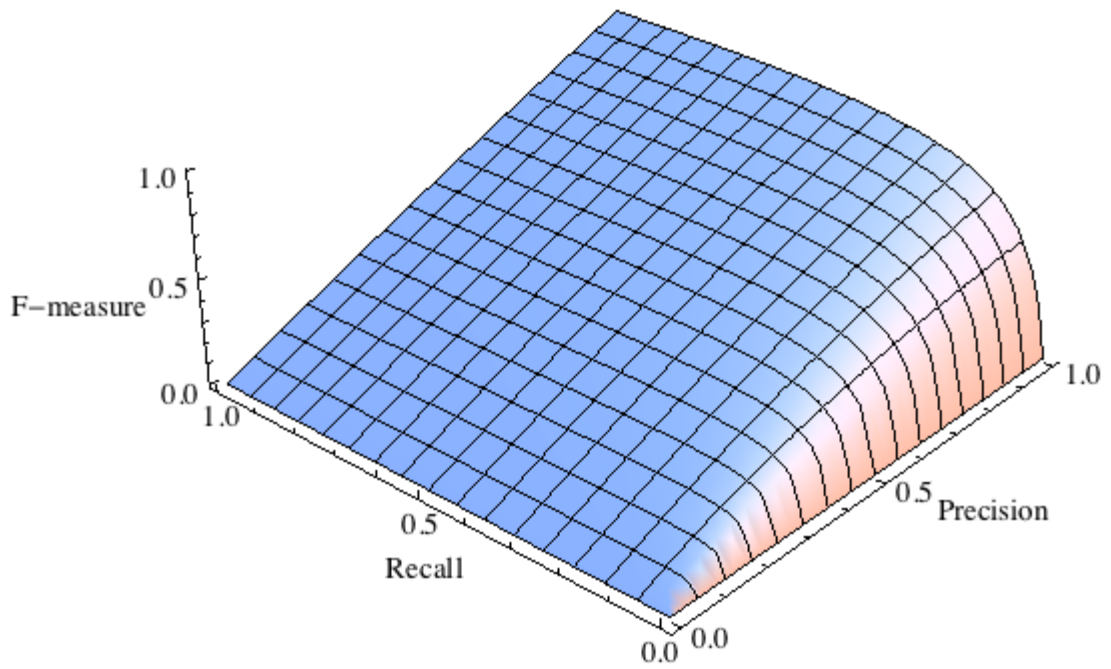


Рисунок 2.7 – F -міра з пріоритетом точності ($\beta^2 = 0,25$)

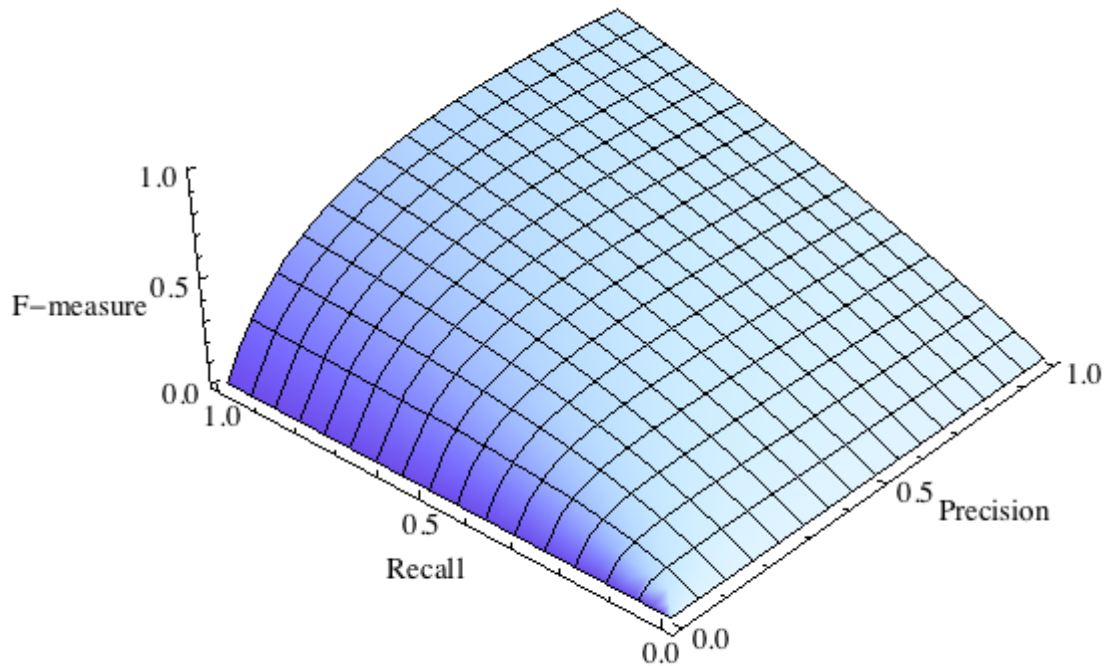


Рисунок 2.8 – F -міра з пріоритетом повноти ($\beta^2 = 2$)

Ця міра дозволяє більш гнучко налаштувати оцінку якості класифікатора, акцентуючи увагу на тих аспектах, які вважаються найбільш критичними для конкретної задачі. Використання F -міри як формальної метрики оцінки якості класифікатора дозволяє об'єктивно виміряти його ефективність, спрощуючи процес прийняття рішень щодо подальших модифікацій алгоритму.

2.5 Нейронная мережа MobileNetV2 та принципи донавчання нейронних мереж

Головною трудностю, яка виникає при навчанні нейронних мереж, є потреба у великих обчислювальних ресурсах та обширних наборах даних, які служать основою для навчання цих мереж. Для подолання цих труднощів було розроблено підхід, що полягає у використанні передньо навчених нейронних мереж. Ці мережі вже мають навчені параметри на великих обсягах

різноманітних даних, в залежності від конкретної мережі. Користувачеві залишається лише змінити останній шар моделі - вихідний, щоб отримати результати класифікації для обраної ним кількості класів [21]. На рисунку 2.2 цей шар позначений як "Output classes".

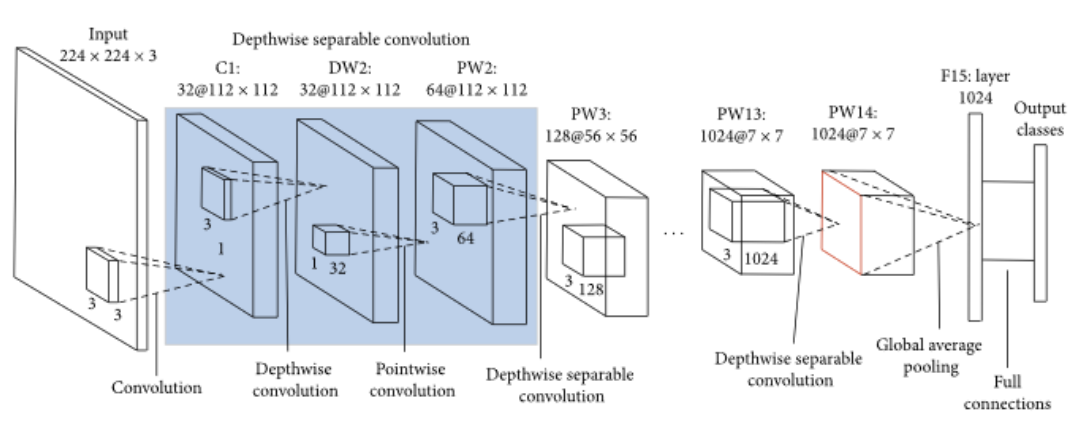


Рисунок 2.9 – Демонструє графічне відображення навченої нейронної мережі Mobilenet V2

Крім того, ці моделі можуть бути піддані додатковому навчання. Якщо не відключати перерозподіл ваг моделі, вона буде адаптуватися до нового набору даних, який буде переданий їй користувачем. Проте, якщо «заморозити» модель, тоді навчання відбуватиметься лише у вихідному шарі, який спочатку буде ініціалізований випадковими значеннями. Зрозуміло, що оптимальніше навчати лише останній шар моделі, оскільки в цьому випадку значення останнього шару не вплинуть безпосередньо на всі ваги моделі, які не були «заморожені».

2.6 Алгоритм пошуку та класифікації текстурних зображень

Для розробки алгоритму пошуку текстурних зображень спочатку потрібно мати доступ до електронної колекції таких зображень. Алгоритм працює таким чином:

1. Підготовка Зображення-Зразка: Спочатку подається текстурне зображення як зразок. Для цього зображення збираються і зберігаються його текстурні характеристики.

2. Вибір Методу Обробки: Визначається, чи буде використовуватися класифікація зображень (тобто віднесення зображення-зразка до певного класу) або метод пошуку за критерієм схожості.

3. Встановлення Критеріїв:

- Якщо обрана класифікація, визначається поріг для віднесення зображення до класу.

- Якщо обрано пошук за критерієм схожості, встановлюється відповідний критерій.

4. Порівняння Зображень: Виконується порівняння текстурних характеристик зразка з текстурними характеристиками інших зображень у колекції.

5. Обробка Результатів:

- При використанні пошуку схожих зображень: якщо зображення відповідає критерію схожості, воно заноситься до результуючого масиву.

- При використанні класифікації: якщо результат порівняння менший за обраний поріг, зображення додається до результуючого масиву.

6. Впорядкування Результатів: Сформований масив з зображеннями, що відповідають критеріям пошуку, впорядковується за зростанням міри подібності.

Цей алгоритм дозволяє ефективно сортувати та вибирати текстурні зображення з великої колекції, використовуючи задані параметри схожості або класифікації.

Таким чином, можемо сформулювати такий алгоритм:

Крок 1. У випадку, коли доступна електронна бібліотека текстурних знімків, ми вносимо зразок текстурного зображення для аналізу.

Крок 2. Витягуємо і зберігаємо ключові текстурні особливості вказаного знімку.

Крок 3. Визначаємо, який алгоритм буде використовуватися для обробки даних.

Крок 4. Встановлюємо критерії входу до класу, у разі вибору класифікації, або визначаємо параметри пошуку.

Крок 5. Процедура порівняння текстурних характеристик поданого зразка з іншими зображеннями у електронній бібліотеці.

Крок 6. Розташовуємо зображення у послідовності відповідно до зростаючої схожості, створюючи впорядкований масив з знімками, що відповідають критеріям пошуку.

3 ПРАКТИЧНА РЕАЛІЗАЦІЯ МЕТОДІВ КЛАСИФІКАЦІЇ ТЕКСТУРНИХ ЗОБРАЖЕНЬ, ЇХ ПОРІВНЯЛЬНИЙ АНАЛІЗ

3.1 Створення датасету текстур

Раніше було зазначено, що хоча наявних датасетів існує велика кількість, вони не відповідають потребам, оскільки специфічних наборів даних з текстурними зображеннями не так багато.

Ці зображення часто містять нерівномірно розподілені текстури або комбінації різних текстур. Тому виникає необхідність створення власного датасету спеціально для цього дослідження.

Для зручності зберігання та доступу до цих зображень обрано використання хмарного сховища Google Drive. Ілюстрація хмарного сховища Google Drive представлена на рисунку 3.1.

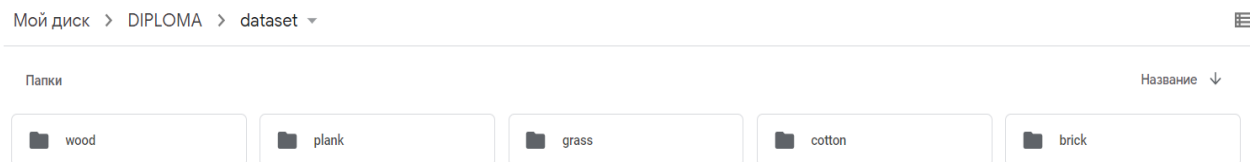


Рисунок 3.1 – Сховище для електронної колекції текстурних зображень

Отже, ми формуємо датасет, що включає 5 типів текстур, серед яких представлені як природні, так і штучні текстури, а саме, до датасету вийшли текстури:

- деревина;
- цегляна стена;
- трава;
- тканина;
- дерев'яний паркет.

Нижче подані приклади зображень з цього датасету (рис 3.2 – 3.6).



Рисунок 3.2 – Приклади датасету текстур: текстура деревини

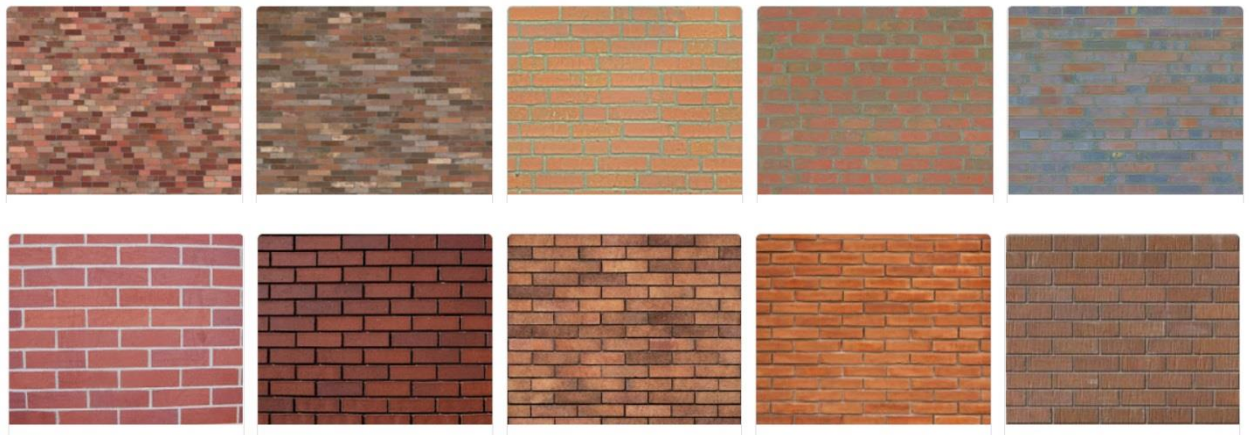


Рисунок 3.3 – Приклади датасету текстур: цегляна стіна

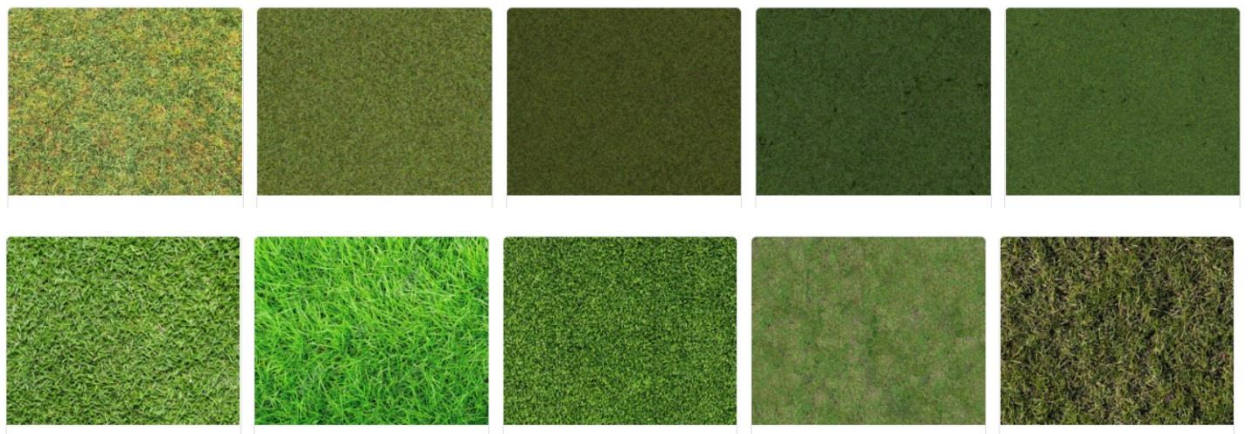


Рисунок 3.4 – Приклади датасету текстур: трава



Рисунок 3.5 – Приклади датасету текстур: бавовняна тканина



Рисунок 3.6 – Приклади датасету текстур: дерев'яний паркет

3.2 Налаштування програмного середовища

У цьому дослідженні ми вирішили застосувати мову програмування Python та робоче середовище Colab для роботи з кодом. Матриця, яку ми використовуємо, розраховує частоту виявлення точок з певними значеннями яскравості в заданих просторових відносинах. Метод LBP використовує спеціальний оператор, який перетворює кожен піксель зображення у бінарне число, засноване на інтенсивності сусідніх пікселів. На основі отриманих таким чином чисел формується гістограма, яка служить як маркер текстури.

Під час аналізу відкритих бібліотек комп'ютерного зору для Python було виявлено, що для екстракції текстурних характеристик можна

використовувати такі бібліотеки та модулі, як Mahotas, Scikits-image і OpenCV [28]. Найбільш гнучкі налаштування для GLCM надає `skimage.feature.graycoprops()` із Scikit-image. Метод LBP доступний у пакетах `scikit-image` та `Mahotas` (`mahotas.features.lbp` та `skimage.feature.texture.local_binary_pattern`, відповідно). Загалом, рекомендується скористатися реалізацією LBP від Scikit-image, оскільки вона пропонує більше можливостей для керування типами гістограм LBP.

Використання вже готових реалізацій методів екстракції текстурних характеристик з бібліотек Mahotas, Scikits-image, OpenCV дозволяє заощадити час та зосередитись на аналізі текстурних зображень. Таким чином, для методу лінійних бінарних шаблонів була використана бібліотека `skimage.feature` та її метод `local_binary_pattern` [29]. А для методу на основі матриці збігів були застосовані `skimage.feature` та її методи `graycomatrix` та `graycoprops` [30].

Для полегшення роботи з кодом у цьому проекті були використані наступні бібліотеки:

- `Google.colab.patches` - для візуалізації зображень;
- `Google.colab` - для доступу до хмарного сховища;
- `Matplotlib.pyplot` - для створення графіків та гістограм;
- `Skimage.io` - для коректного читання зображень з хмарного сховища Google Drive;
- `Collections` - для створення словника, який використовується для зберігання результатів аналізу;
- `Numpy` - для конвертації вектора, отриманого після аналізу зображення, у масив для подальшого порівняння з іншими;
- `Math` - для застосування різних математичних функцій;
- `Cv2` - для обробки зображень, зокрема зміни їх розмірів та перетворення у чорно-біле зображення;
- `Sys` - для взаємодії з інтерпретатором Python, зокрема доступу до системних змінних і функцій;
- `Os` - для читання файлів з хмарного сховища;

– Time - для вимірювання ефективності коду.

Завантаження цих необхідних бібліотек для реалізації програмної моделі можна побачити на рисунку 3.7.

```
from skimage.feature import local_binary_pattern
from skimage.feature import greycomatrix, greycoprops
from google.colab.patches import cv2_imshow
from google.colab import drive
import matplotlib.pyplot as plt
from skimage.io import imread
from collections import defaultdict
import numpy as np
import math
import cv2
import sys
import os
import time
```

Рисунок 3.7 – Лістинг завантаження необхідних бібліотек для виконання програмної моделі

3.3 Підготовка зображень для використання медів бінарних шаблонів

На початку нашої роботи ми маємо справу з кольоровими зображеннями, які відрізняються за розмірами.

Щоб стандартизувати їх для подальшого аналізу, ми приводимо всі зображення до єдиного розміру, конкретно до 512×512 пікселів, та перетворюємо їх у чорно-білі.

Вихідний набір зображень, які ми маємо на руках на цьому етапі, відображено на рисунку 3.8.

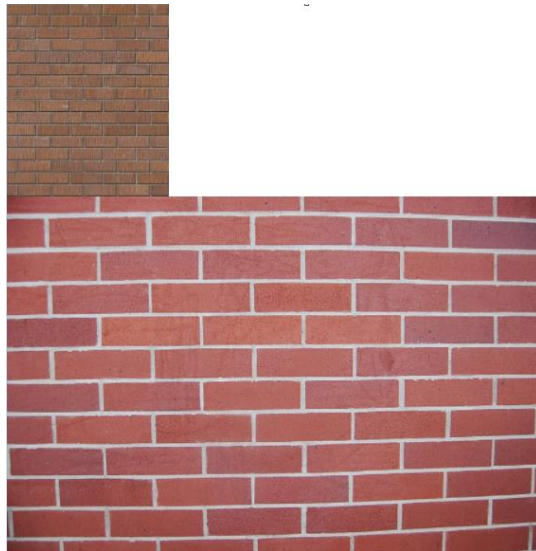


Рисунок 3.8 – Приклад вхідних зображень, що мають різний розмір

Після того, як зображення були приведені до єдиного розміру, ми отримуємо результати, що відображені на відповідному рисунку 3.9.



Рисунок 3.9 – Приклад зображень після приведення зображень до єдиного розміру – 512×512 пікселів

В кінці переводимо кольорове зображення у сірий колір, як на рисунку 3.10.



Рисунок 3.10 – Приклад зображень після приведення зображень до сірого кольору

3.4 Реалізація методу бінарних шаблонів

У даній роботі метод лінійних бінарних шаблонів (ЛБШ) був реалізований за наступним алгоритмом:

Крок 1. Завантаження зображення. Початок роботи з вибраним зображенням.

Крок 2. Нормалізація зображення. Приведення зображення до стандартного розміру та конвертація його у чорно-білий формат.

Крок 4. Застосування методу ЛБШ. Обробка отриманого зображення за допомогою методу лінійних бінарних шаблонів.

Крок 4. Перетворення у гістограму. Конвертація обробленого за методом ЛБШ зображення у гістограму.

Крок 5 Класифікація зображень:

– вибір зразкового зображення;

- порівняння гістограм зразкового зображення з гістограмами з електронної колекції з використанням критерію схожості;
- запис результатів порівняння у результативний масив;
- сортування результативного масиву;
- класифікація: визначення, чи входять зображення з електронної колекції до класу зразкового зображення.

На рисунку 3.11 демонструється процес завантаження зображення, його нормалізації, обробки за методом ЛБШ, перетворення у гістограму та додавання цієї гістограми до електронної колекції.

```
#brick
imgs_brick = os.listdir(dir_images_brick)
for count, imgnm in enumerate(imgs_brick,1):
    img = cv2.imread(os.path.join(dir_images_brick, imgnm))
    img_rsz = cv2.resize(img, (512, 512), interpolation = cv2.INTER_AREA)
    img_rsz_gr = cv2.cvtColor(img_rsz, cv2.COLOR_BGR2GRAY)
    img_lbp = local_binary_pattern(img_rsz_gr, n_points, radius, METHOD)
    hist, _ = np.histogram(img_lbp, density=True, bins=n_bins, range=(0, img.max()))
    textures["brick{}".format(count)] = hist
```

Рисунок 3.11 – Лістинг коду

Приклад зображень після накладання маски ЛБШ на зображення класів відображено на рисунках 3.12 – 3.16.

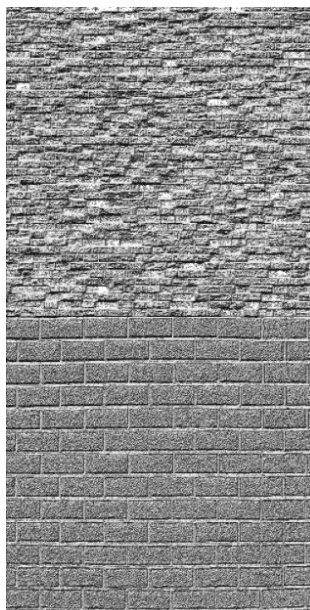


Рисунок 3.12 – Приклад зображень з класу цегляної стіни після накладання маски методу ЛБШ

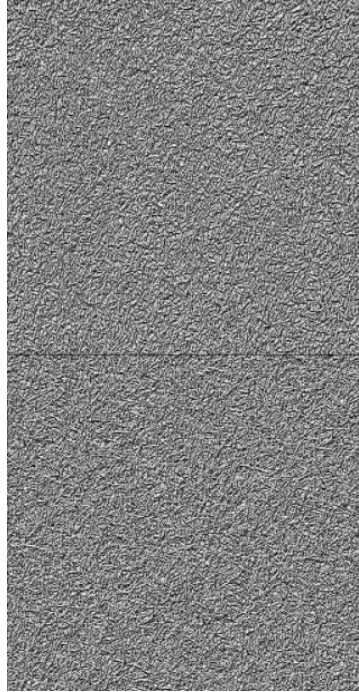


Рисунок 3.13 – Приклад зображень з класу трави після накладання маски методу ЛБШ

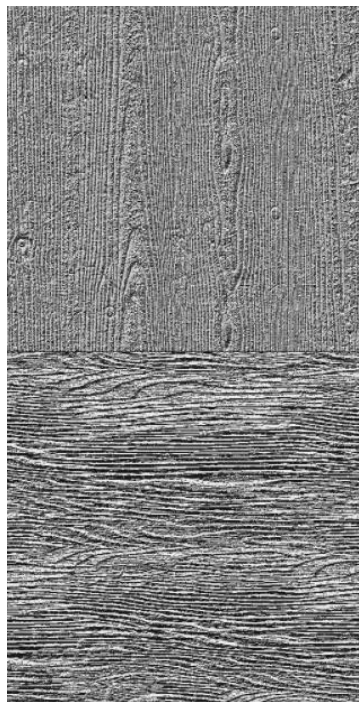


Рисунок 3.14 – Приклад зображень з класу текстури дерева після накладання маски методу ЛБШ

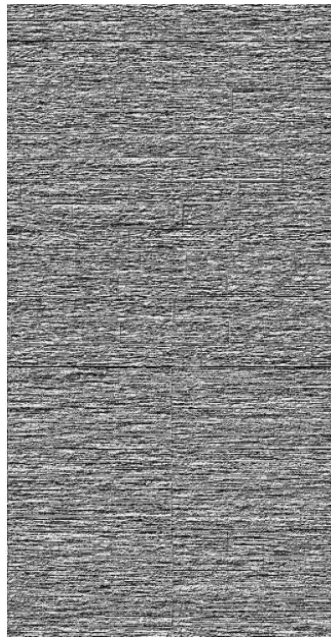


Рисунок 3.15 – Приклад зображень з класу текстури дерев'яного паркету після накладання макски методу ЛБШ

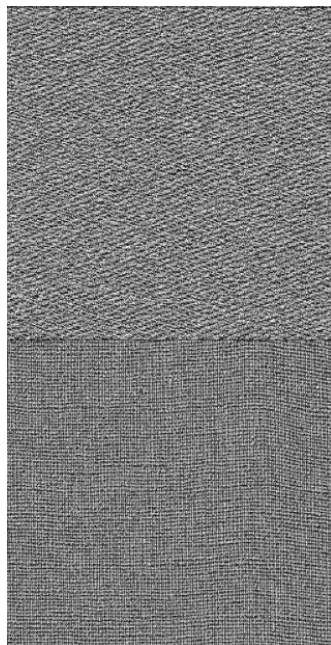


Рисунок 3.16 – Приклад зображень з класу текстури бавовняної тканини після накладання макски методу ЛБШ

На рисунку 3.17 показано обирання зображення зразку та порівняння з зображеннями з електронної колекції, проведення класифікації та найбільш схожого зображення з колекції.

```

def match(refs, img, img_name):
    global array_euclidean, array_manhattan
    best_score = 1
    best_name = 100
    classification = []
    for name, ref in refs.items():
        score = manhattan(img, ref)
        if score < threshold:
            classification.append(name)
        if score < best_score:
            best_score = score
            best_name = name

```

Рисунок 3.17 – Лістинг коду

Код програми для проведення класифікації зображень представлено на рисунку 3.18. Результати цього процесу класифікації можна побачити на рисунку 3.19. А рисунок 3.20 ілюструє результат виявлення найбільш схожого зображення на вибраний зразок у рамках цього дослідження.

```

#визначаємо ім'я класу зображення зразку
classname = ''.join([i for i in img_name if not i.isdigit()])
for name, key in refs.items():
    #визначаємо ім'я класу зображення з електронної колекції, з яким порівнювали
    current_class = ''.join([i for i in name if not i.isdigit()])
    #перевірка чи увійшло зображення до класу при перевірці score < threshold
    choiced_class = name in classification
    #перевіряємо чи увійшло зображення до класу зображення зразку
    real_class = current_class == classname

```

Рисунок 3.18 – Лістинг коду

```

Зображення зразок: cotton1
Назва класу зображення зразку: cotton
Назва зображення, що увійшло до класу: grass1
Назва зображення, що увійшло до класу: grass2
Назва зображення, що увійшло до класу: grass3
Назва зображення, що увійшло до класу: grass4
Назва зображення, що увійшло до класу: grass5
Назва зображення, що увійшло до класу: grass10
Назва зображення, що увійшло до класу: brick2
Назва зображення, що увійшло до класу: brick4
Назва зображення, що увійшло до класу: brick10
Назва зображення, що увійшло до класу: cotton1
Назва зображення, що увійшло до класу: cotton2
Назва зображення, що увійшло до класу: cotton3
Назва зображення, що увійшло до класу: cotton4
Назва зображення, що увійшло до класу: cotton5
Назва зображення, що увійшло до класу: cotton6
Назва зображення, що увійшло до класу: cotton7
Назва зображення, що увійшло до класу: cotton8
Назва зображення, що увійшло до класу: cotton9
Назва зображення, що увійшло до класу: cotton10

```

Рисунок 3.19 – Результат виконання коду

```

Результат знаходження найбільш схожого зображення на grass1 : grass5
Результат знаходження найбільш схожого зображення на grass2 : cotton4
Результат знаходження найбільш схожого зображення на grass3 : brick10
Результат знаходження найбільш схожого зображення на grass4 : grass2
Результат знаходження найбільш схожого зображення на grass5 : grass1
Результат знаходження найбільш схожого зображення на grass6 : grass9
Результат знаходження найбільш схожого зображення на grass7 : grass8
Результат знаходження найбільш схожого зображення на grass8 : plank10
Результат знаходження найбільш схожого зображення на grass9 : grass6
Результат знаходження найбільш схожого зображення на grass10 : grass3
Результат знаходження найбільш схожого зображення на brick1 : brick7
Результат знаходження найбільш схожого зображення на brick2 : brick10
Результат знаходження найбільш схожого зображення на brick3 : brick8
Результат знаходження найбільш схожого зображення на brick4 : cotton4
Результат знаходження найбільш схожого зображення на brick5 : brick6
Результат знаходження найбільш схожого зображення на brick6 : brick5
Результат знаходження найбільш схожого зображення на brick7 : cotton5
Результат знаходження найбільш схожого зображення на brick8 : brick3
Результат знаходження найбільш схожого зображення на brick9 : brick4
Результат знаходження найбільш схожого зображення на brick10 : brick2
Результат знаходження найбільш схожого зображення на wood1 : brick5
Результат знаходження найбільш схожого зображення на wood2 : wood6
Результат знаходження найбільш схожого зображення на wood3 : plank4
Результат знаходження найбільш схожого зображення на wood4 : grass5
Результат знаходження найбільш схожого зображення на wood5 : wood10
Результат знаходження найбільш схожого зображення на wood6 : wood7
Результат знаходження найбільш схожого зображення на wood7 : wood6
Результат знаходження найбільш схожого зображення на wood8 : brick6
Результат знаходження найбільш схожого зображення на wood9 : plank1
Результат знаходження найбільш схожого зображення на wood10 : plank9
Результат знаходження найбільш схожого зображення на plank1 : wood2
Результат знаходження найбільш схожого зображення на plank2 : plank5
Результат знаходження найбільш схожого зображення на plank3 : plank7
Результат знаходження найбільш схожого зображення на plank4 : wood3
Результат знаходження найбільш схожого зображення на plank5 : plank2
Результат знаходження найбільш схожого зображення на plank6 : plank7
Результат знаходження найбільш схожого зображення на plank7 : plank3
Результат знаходження найбільш схожого зображення на plank8 : wood10
Результат знаходження найбільш схожого зображення на plank9 : wood10
Результат знаходження найбільш схожого зображення на plank10 : wood3
Результат знаходження найбільш схожого зображення на cotton1 : cotton4
Результат знаходження найбільш схожого зображення на cotton2 : cotton3
Результат знаходження найбільш схожого зображення на cotton3 : cotton2
Результат знаходження найбільш схожого зображення на cotton4 : brick4
Результат знаходження найбільш схожого зображення на cotton5 : cotton4
Результат знаходження найбільш схожого зображення на cotton6 : grass1
Результат знаходження найбільш схожого зображення на cotton7 : grass10
Результат знаходження найбільш схожого зображення на cotton8 : cotton5
Результат знаходження найбільш схожого зображення на cotton9 : grass4
Результат знаходження найбільш схожого зображення на cotton10 : grass4

```

Рисунок 3.20 – Результат виконання коду

3.5 Реалізація методу, на основі матриці збігів

У цій роботі метод на основі матриці збігів був реалізований за такими кроками:

Крок 1. Завантаження зображення. Починаємо обробку з вибору конкретного зображення.

Крок 2. Нормалізація зображення. Приводимо зображення до єдиного стандартного розміру та перетворюємо його у чорно-білий формат.

Крок 3. Застосування методу на основі матриці збігів. Обробка отриманого зображення за допомогою обраного методу.

Крок 4. Видобування текстурних характеристик. Отримання текстурних характеристик зображення на основі гістограми, їх нормування та сумування.

Крок 5. Класифікація зображень:

- вибір зразкового зображення;
- порівняння результатів сум зразкового зображення та сум з електронної колекції з використанням критерію схожості;
- запис результатів порівняння у результативний масив;
- сортування результативного масиву;
- класифікація: визначення, чи входять зображення з електронної колекції до класу зразкового зображення.

На рисунку 3.21 ілюструється процес завантаження зображення, його нормалізації, застосування методу на основі матриці збігів, отримання та сумування текстурних характеристик, а також додавання отриманих результатів до електронної колекції.

Що стосується результатів класифікації зображень, то вони відображені на рисунку 3.22.

```
#cotton
dir_images_cotton = '/content/drive/My Drive/DIPLOMA/dataset/cotton/'
imgs_cotton = os.listdir(dir_images_cotton)
for count, imgnm in enumerate(imgs_cotton,1):
    img = cv2.imread(os.path.join(dir_images_cotton, imgnm))
    img_rsz = cv2.resize(img, (512, 512), interpolation = cv2.INTER_AREA)
    img_rsz_gr = cv2.cvtColor(img_rsz, cv2.COLOR_BGR2GRAY)
    img_glcm = greycmatrix(img_rsz_gr, distances=[5], angles=[0], levels=256, symmetric=True, normed=True)
    contrast = greycoprops(img_glcm, 'contrast')[0][0]
    dissimilarity = greycoprops(img_glcm, 'dissimilarity')[0][0]
    homogeneity = greycoprops(img_glcm, 'homogeneity')[0][0]
    ASM = greycoprops(img_glcm, 'ASM')[0][0]
    energy = greycoprops(img_glcm, 'energy')[0][0]
    correlation = greycoprops(img_glcm, 'correlation')[0][0]
    img_sum = contrast + dissimilarity + homogeneity + ASM + energy + correlation
    textures["cotton{}".format(count)] = img_sum
```

Рисунок 3.21 – Лістинг коду

3.6 Донавчання нейронної мережі MobileNetV2

3.6.1 Розширення датасету текстур та підготовка до завантаження в модель

Навчання нейронних мереж потребує дуже великих датасетів. Але в даній роботі використовується вже навчена нейронна мережа MobileNetV2, для якої необхідно перенавчити лише шар прийняття остаточного рішення – до якого класу належить зображення. Тобто щоб донавчити модель необхідно наш датасет текстур розширити. Однак кількість зразків зображень одного класу може бути значно меншою у порівнянні і кількістю для навчання моделі з нуля. В роботі було вирішено розширити датасет до 100 зразків у кожному класі.

Модель MobileNetV2 була навчена на датасеті ImageNet, де розміри зображень дорівнювали 224×224 пікселів. Тому необхідно всі зображення перед навчанням перевести до даного розміру. На рисунку 3.23, 3.24 наведені прикладі випадково обраних зображень з розширеного датасету, а на рисунку 3.25 показаний лістинг коду для формування масиву x та вектору відповідей y для 5-і класів brick, grass, fabric, wood, laminate.

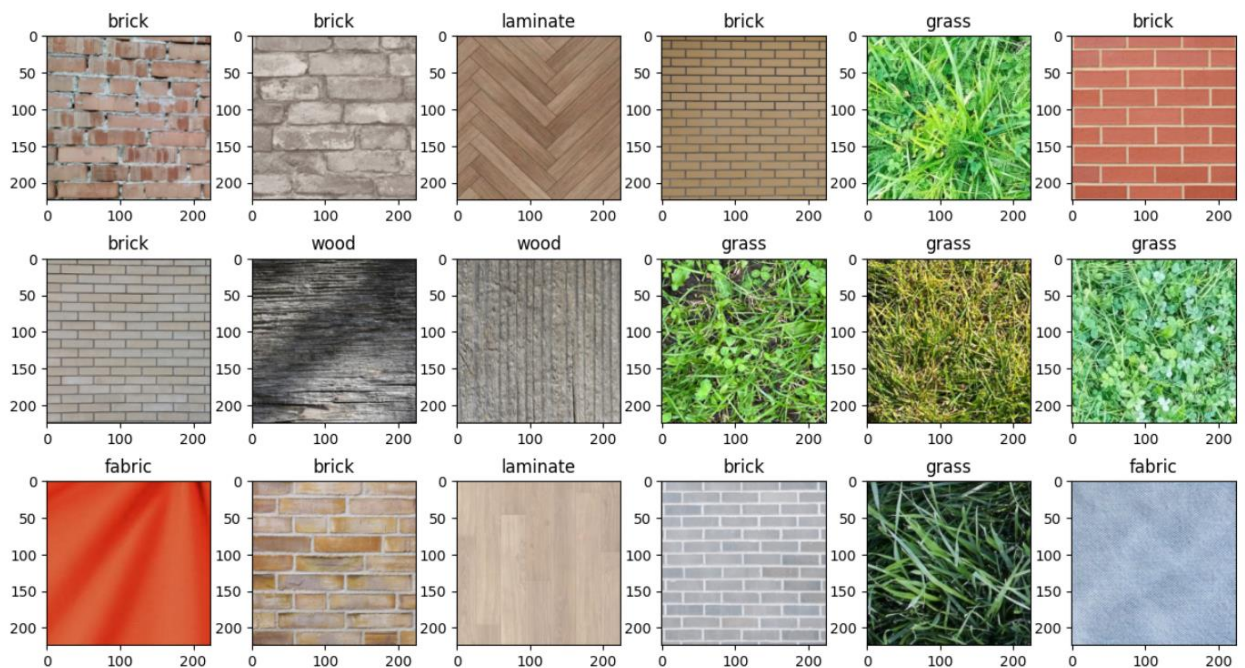


Рисунок 3.23 – Приклади розширеного датасету на 5 класів (500 зображень)

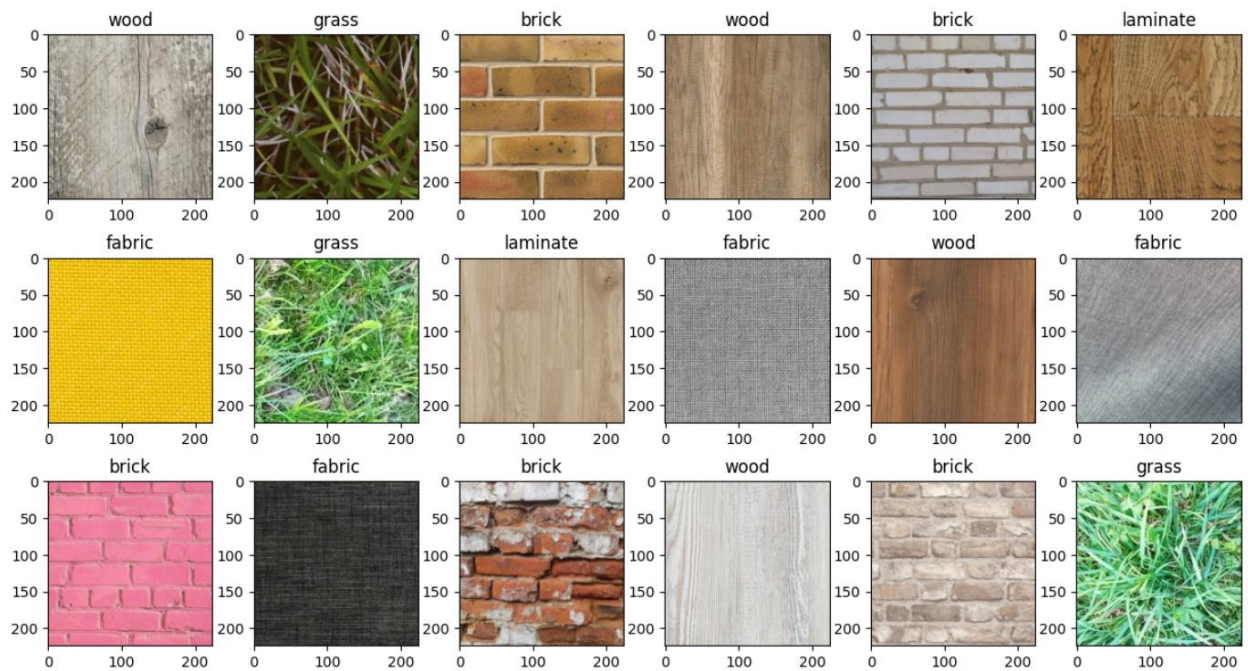


Рисунок 3.24 – Приклади розширеного датасету на 5 класів (500 зображень)

```

# 500 зображень (5 класів по 100 зразків)
# запис усіх зображень в x, формування вектора відповідей у
# приведення зображень до розміру 224 (цього вимагає вхід моделі MobileNetV2)
# brick, grass, fabric, wood, laminate
size = 224
x500, y500 = [], []
name_img = []
folder = "Texture500"
samples = os.listdir(folder)
for sample in tqdm(samples):
    img = cv2.cvtColor(cv2.imread(os.path.join(folder, sample)), cv2.COLOR_BGR2RGB)
    img = cv2.resize(img, (size, size))
    name_img.append(sample)
    x500.append(img)
    if 'brick' in sample:
        y500.append(0)
    elif 'fabric' in sample:
        y500.append(1)
    elif 'grass' in sample:
        y500.append(2)
    elif 'laminate' in sample:
        y500.append(3)
    elif 'wood' in sample:
        y500.append(4)
    else:
        raise ValueError()

```

Рисунок 3.25 – Лістинг коду для формування масиву x та вектору відповідей у для 5-і класів brick, fabric, grass, laminate, wood

3.6.2 Донавчання MobileNetV2

Для навчання моделі треба завантажити ряд бібліотек (рис. 3.26), а також задати назва класів (рис. 3.27).

```
# import the necessary packages
import os
from tensorflow.keras.preprocessing.image import ImageDataGenerator
from tensorflow.keras.applications import MobileNetV2
from tensorflow.keras.layers import AveragePooling2D
from tensorflow.keras.layers import Dropout
from tensorflow.keras.layers import Flatten
from tensorflow.keras.layers import Dense
from tensorflow.keras.layers import Input
from tensorflow.keras.models import Model
from tensorflow.keras.optimizers import Adam
from tensorflow.keras.applications.mobilenet_v2 import preprocess_input
from tensorflow.keras.preprocessing.image import img_to_array
from tensorflow.keras.preprocessing.image import load_img
from tensorflow.keras.utils import to_categorical
from sklearn.preprocessing import LabelBinarizer
from sklearn.model_selection import train_test_split
from sklearn.metrics import classification_report
from imutils import paths
import matplotlib.pyplot as plt
import numpy as np
#import argparseimport os
from tqdm import tqdm
from time import time
import tensorflow as tf
import cv2
from tensorflow import keras
from keras.callbacks import EarlyStopping, ModelCheckpoint
# Set the seeds for reproducibility
from numpy.random import seed
from tensorflow.random import set_seed
seed_value = 1234578790
seed(seed_value)
set_seed(seed_value)
import shutil
```

Рисунок 3.26 – Лістинг для завантаження бібліотек щодо донавчання нейромережі MobileNetV2

```
# Mapping from class ID to class name
classes500 = {0:'brick', 1:'fabric', 2:'grass', 3:'laminare', 4:'wood'}
```

Рисунок 3.27 – Лістинг для задання класів

Далі необхідно поділити датасет з 500 зображень на частину для тренування та тестування. На частину для тестування вирішено залишити 20 відсотків (рис. 3.28). Оскільки під час навчання планується використання метрики softmax, вектор відповідей необхідно перекодувати у формат one hot encoding розміром 5 (рис. 3.29).

```
# поділ датасету для тренування і тестування
x500_train, x500_test, y500_train, y500_test = train_test_split(x500, y500, train_size=0.8, shuffle=True)
x500_train = (x500_train)/255
x500_test = (x500_test)/255
print(x500_train.shape, len(y500_train))
print(x500_test.shape, len(y500_test))
```

(400, 224, 224, 3) 400
(100, 224, 224, 3) 100

Рисунок 3.28 – Лістинг коду для поділу датасету для тренування та тестування

```
# оскільки під час навчання планується використання метрики softmax,
# вектор відповідей у необхідно перекодувати у формат one hot encoding
# для 5 класів
y500_train = tf.keras.utils.to_categorical(y500_train, 5)
y500_test = tf.keras.utils.to_categorical(y500_test, 5)
# зображення перших 4 векторів з масиву відповідей у в форматі one hot encoding
print(y500_train[0:4])
print(y500_test[0:4])
```

```
[[0. 1. 0. 0. 0.]
 [1. 0. 0. 0. 0.]
 [0. 1. 0. 0. 0.]
 [0. 0. 0. 1. 0.]]
[[0. 0. 0. 0. 1.]
 [0. 1. 0. 0. 0.]
 [0. 0. 0. 1. 0.]
 [1. 0. 0. 0. 0.]
```

Рисунок 3.29 – Лістинг коду для перекодування вектору відповіді у формат one hot encoding

Для донавчання моделі MobileNetV2 треба завантажити модель з наступними налаштуваннями (рис. 3.30):

– використати ваги для датасету ImageNet;

- завантаження моделі без повнозв'язних підсумкових шарів (`include_top=False`);
- задання вхідного формату даних `input_shape=(224, 224, 3)`;
- заморожування завантаженої моделі (щоб шари, які формують ознаки, не навчалися).

Модель `MobileNetV2` без підзв'язних шарів має 2 257 984 параметрів та важить 8,61 МВ (`Non-trainable params`).

На рисунку 3.31 наведено створення повнозв'язних шарів для навчання задачі класифікації текстур для 5 класів. Створені шари додали 8 028 933 параметрів (30,63 МВ), які необхідно натренувати (навчити). Усього модель має 10 286 917 параметрів (39,24 МВ), 2 257 984 з них заморожені.

```
# створення екземпляра моделі MobileNetV2 з такими налаштуваннями:
# - завантаження wag для датасету Imagenet
# - завантаження моделі без повнозв'язних підсумкових шарів (include_top=False)
# - назначення вхідного формату даних input_shape=(224, 224, 3)
# - заморожування завантаженої моделі (щоб шари, які формують ознаки, не навчалися)
baseModel = MobileNetV2(weights="imagenet", include_top=False, input_shape=(224, 224, 3))
baseModel.trainable = False
baseModel.summary()
# модель без підзв'язних шарів має 2257984 параметрів (Non-trainable params, 8.61 MB)
```

Рисунок 3.30 – Лістинг коду для завантаження моделі `MobileNetV2` із заморожуванням шарів для отримання ознак

```
# створення повнозв'язних шарів для навчання задачі класифікації текстур (5 класів)
# створені шари додали 8028933 параметрів (30.63 MB), які необхідно натренувати (навчити)
# усього модель має 10286917 параметрів (39.24 MB), 2257984 з них заморожені
headModel = baseModel.output
headModel = Flatten(name="flatten")(headModel)
headModel = Dense(128, activation="relu")(headModel)
headModel = Dropout(0.5)(headModel)
headModel = Dense(5, activation="softmax")(headModel)
model = Model(inputs=baseModel.input, outputs=headModel)
model.summary()
```

Рисунок 3.31 – Лістинг коду для створення повнозв'язних шарів для класифікації на 5 класів

Донавчання проводилося для 100 епох, где розмір банчу дорівнював 40. Мережа навчалась 87,98 мс и отримала точність на тренувальному датасеті 0,997 та на валідаційному – 1,00 (рис. 3.33).

```

epochs = 100
batch_size = 40

# Compile the model
model.compile(loss="categorical_crossentropy", optimizer=Adam(1e-6), metrics=["accuracy"])
# Train the model
start = time()
# history = model.fit(x500_train, y500_train, batch_size=batch_size, epochs=epochs, validation_split=0.1, callbacks=callbacks_list)
history = model.fit(x500_train, y500_train, batch_size=batch_size, epochs=epochs, validation_split=0.1)
print('Elapsed time', time() - start)

```

Рисунок 3.32 – Лістинг коду для створення повнозв'язних шарів для класифікації на 5 класів

Train Acc 0.9944444298744202
Validation Acc 0.9750000238418579

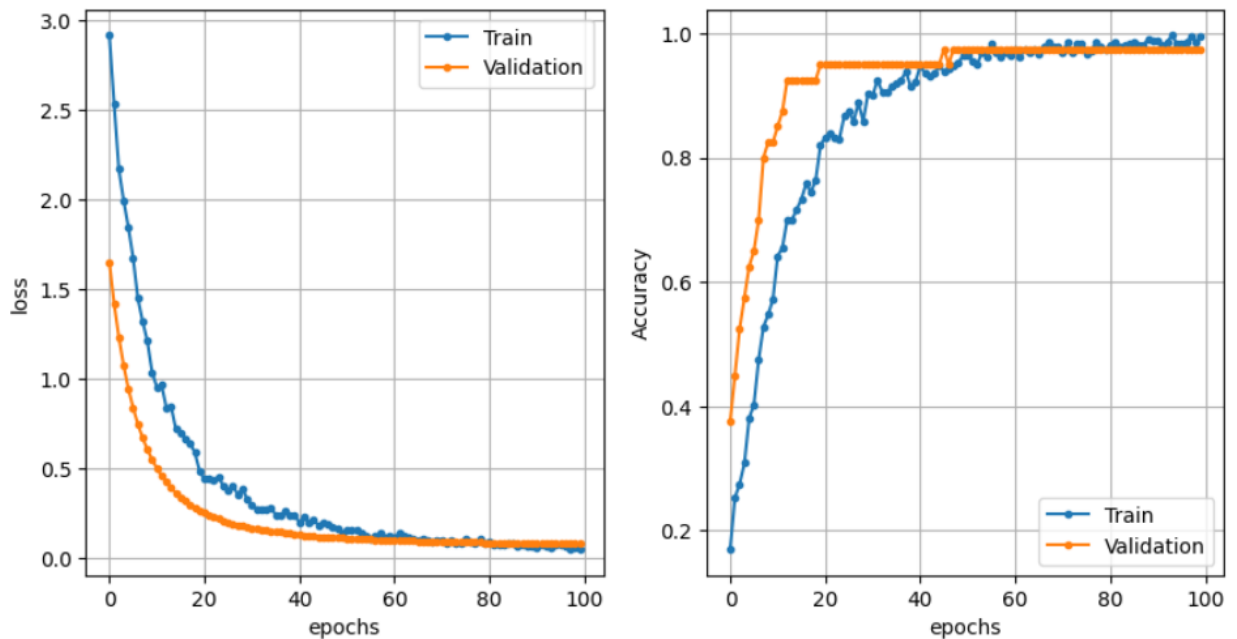


Рисунок 3.33 – Ілюстрація змін loss та асигасу для тренувальної та валідаційної частини датасету

Приклади результатів класифікації наведені на рисунках 3.34 та 3.35.

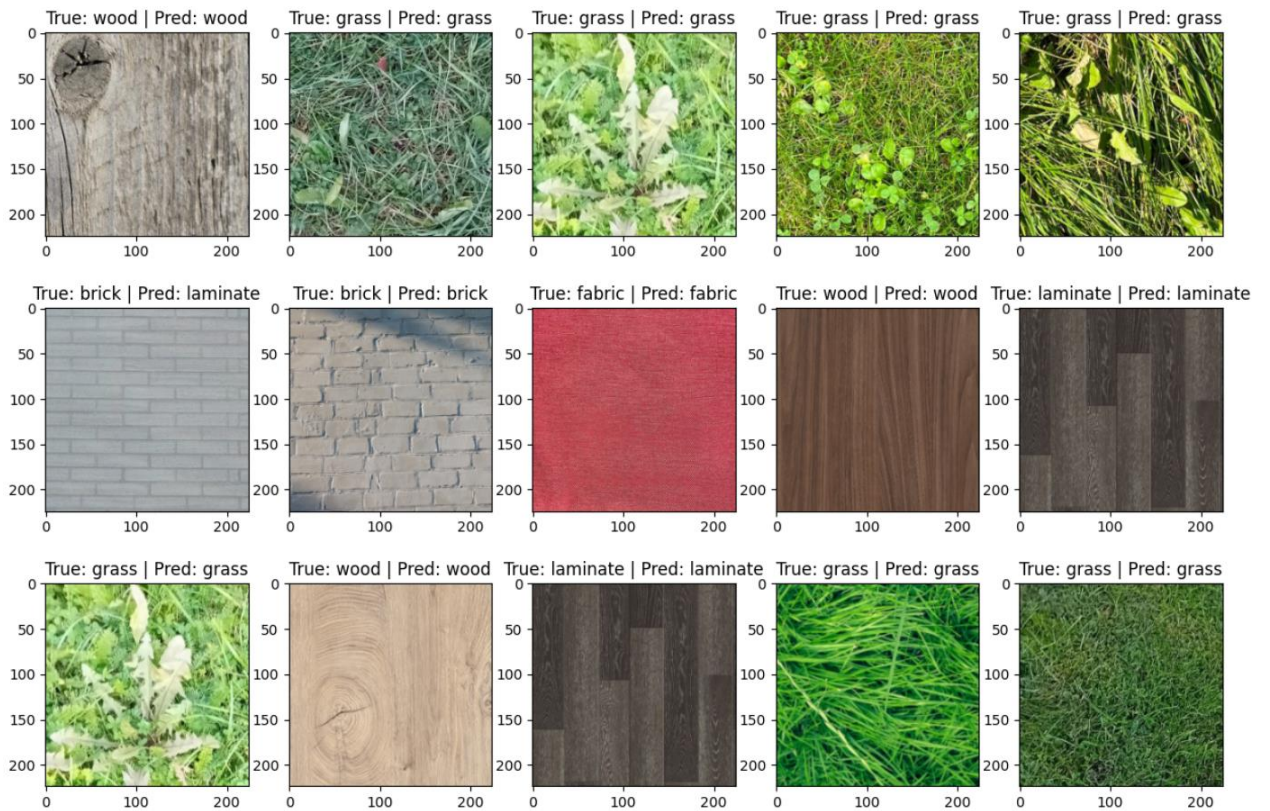


Рисунок 3.34 – Приклади результатів класифікації

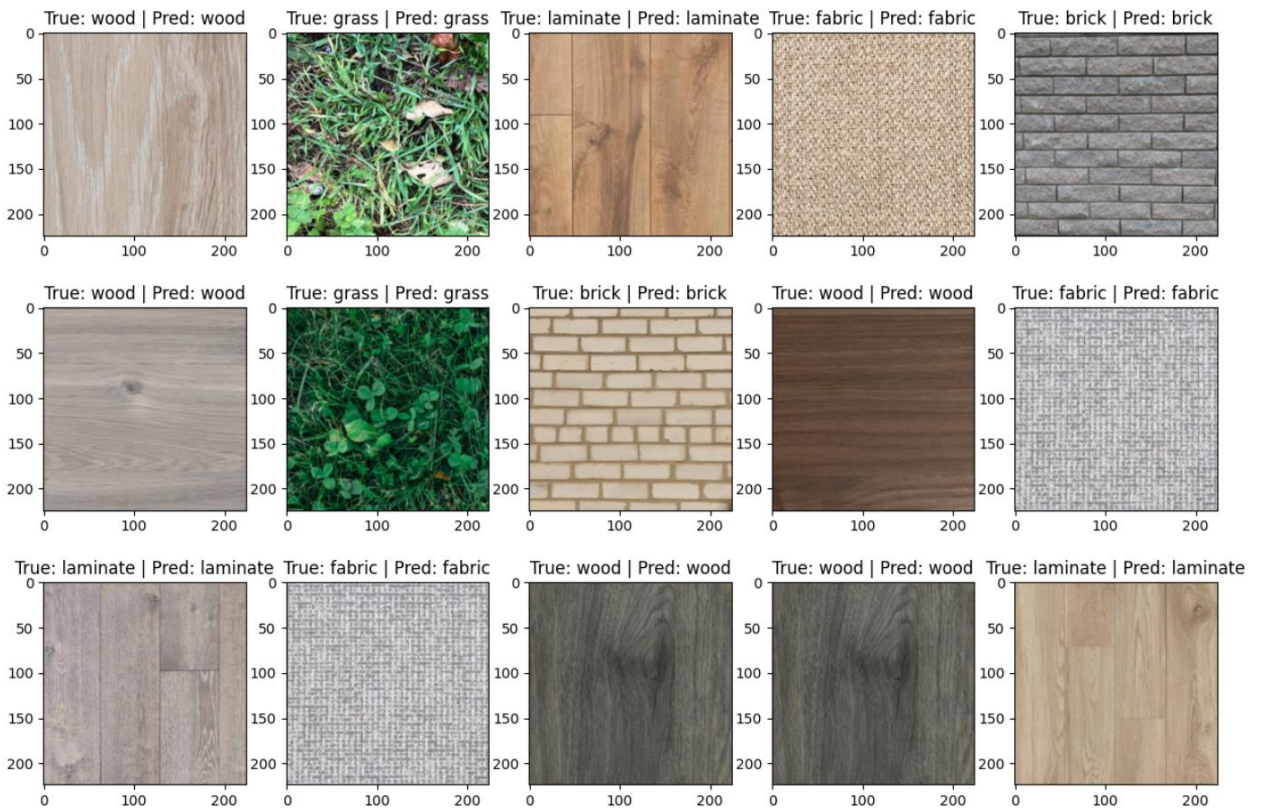


Рисунок 3.35 – Приклади результатів класифікації

3.7 Оцінка у порівняльному аспекті якості та швидкодії пошуку текстур за розглянутими методами

3.7.1 Оцінка якості класифікації методом ЛБШ та матриць збігів

Оцінка ефективності алгоритму класифікації часто здійснюється через аналіз показників класифікатора. Для цього використовуються критерії *TP* (True Positives), *TN* (True Negatives), *FP* (False Positives), *FN* (False Negatives).

Важливими метриками оцінки ефективності класифікатора є Precision (Точність) та Recall (Повнота).

Результати виконання цих метрик Precision та Recall для кожного зображення, а також для обох методів, відображено на рисунках 3.36 – 3.39.

Для зображення grass1	TP - 6, TN - 4, FP - 11, FN - 29, тоді precision = 0.35294117647058826, a recall = 0.17142857142857143
Для зображення grass2	TP - 6, TN - 4, FP - 13, FN - 27, тоді precision = 0.3157894736842105, a recall = 0.18181818181818182
Для зображення grass3	TP - 5, TN - 5, FP - 9, FN - 31, тоді precision = 0.35714285714285715, a recall = 0.13888888888888889
Для зображення grass4	TP - 5, TN - 5, FP - 13, FN - 27, тоді precision = 0.27777777777777778, a recall = 0.15625
Для зображення grass5	TP - 6, TN - 4, FP - 10, FN - 30, тоді precision = 0.375, a recall = 0.16666666666666666
Для зображення grass6	TP - 1, TN - 9, FP - 0, FN - 40, тоді precision = 1.0, a recall = 0.024390243902439025
Для зображення grass7	TP - 1, TN - 9, FP - 0, FN - 40, тоді precision = 1.0, a recall = 0.024390243902439025
Для зображення grass8	TP - 1, TN - 9, FP - 0, FN - 40, тоді precision = 1.0, a recall = 0.024390243902439025
Для зображення grass9	TP - 1, TN - 9, FP - 0, FN - 40, тоді precision = 1.0, a recall = 0.024390243902439025
Для зображення grass10	TP - 6, TN - 4, FP - 10, FN - 30, тоді precision = 0.375, a recall = 0.16666666666666666
Для зображення brick1	TP - 1, TN - 9, FP - 0, FN - 40, тоді precision = 1.0, a recall = 0.024390243902439025
Для зображення brick2	TP - 4, TN - 6, FP - 13, FN - 27, тоді precision = 0.23529411764705882, a recall = 0.12903225806451613
Для зображення brick3	TP - 1, TN - 9, FP - 0, FN - 40, тоді precision = 1.0, a recall = 0.024390243902439025
Для зображення brick4	TP - 3, TN - 7, FP - 15, FN - 25, тоді precision = 0.16666666666666666, a recall = 0.10714285714285714
Для зображення brick5	TP - 1, TN - 9, FP - 0, FN - 40, тоді precision = 1.0, a recall = 0.024390243902439025
Для зображення brick6	TP - 1, TN - 9, FP - 0, FN - 40, тоді precision = 1.0, a recall = 0.024390243902439025
Для зображення brick7	TP - 2, TN - 8, FP - 4, FN - 36, тоді precision = 0.33333333333333333, a recall = 0.05263157894736842
Для зображення brick8	TP - 1, TN - 9, FP - 0, FN - 40, тоді precision = 1.0, a recall = 0.024390243902439025
Для зображення brick9	TP - 1, TN - 9, FP - 0, FN - 40, тоді precision = 1.0, a recall = 0.024390243902439025
Для зображення brick10	TP - 3, TN - 7, FP - 13, FN - 27, тоді precision = 0.1875, a recall = 0.1
Для зображення wood1	TP - 1, TN - 9, FP - 0, FN - 40, тоді precision = 1.0, a recall = 0.024390243902439025
Для зображення wood2	TP - 2, TN - 8, FP - 0, FN - 40, тоді precision = 1.0, a recall = 0.047619047619047616
Для зображення wood3	TP - 1, TN - 9, FP - 1, FN - 39, тоді precision = 0.5, a recall = 0.025
Для зображення wood4	TP - 1, TN - 9, FP - 0, FN - 40, тоді precision = 1.0, a recall = 0.024390243902439025
Для зображення wood5	TP - 1, TN - 9, FP - 0, FN - 40, тоді precision = 1.0, a recall = 0.024390243902439025
Для зображення wood6	TP - 3, TN - 7, FP - 0, FN - 40, тоді precision = 1.0, a recall = 0.06976744186046512
Для зображення wood7	TP - 2, TN - 8, FP - 0, FN - 40, тоді precision = 1.0, a recall = 0.047619047619047616
Для зображення wood8	TP - 1, TN - 9, FP - 0, FN - 40, тоді precision = 1.0, a recall = 0.024390243902439025
Для зображення wood9	TP - 1, TN - 9, FP - 0, FN - 40, тоді precision = 1.0, a recall = 0.024390243902439025
Для зображення wood10	TP - 1, TN - 9, FP - 0, FN - 40, тоді precision = 1.0, a recall = 0.024390243902439025
Для зображення plank1	TP - 1, TN - 9, FP - 0, FN - 40, тоді precision = 1.0, a recall = 0.024390243902439025
Для зображення plank2	TP - 1, TN - 9, FP - 0, FN - 40, тоді precision = 1.0, a recall = 0.024390243902439025
Для зображення plank3	TP - 2, TN - 8, FP - 0, FN - 40, тоді precision = 1.0, a recall = 0.047619047619047616
Для зображення plank4	TP - 1, TN - 9, FP - 1, FN - 39, тоді precision = 0.5, a recall = 0.025
Для зображення plank5	TP - 1, TN - 9, FP - 0, FN - 40, тоді precision = 1.0, a recall = 0.024390243902439025
Для зображення plank6	TP - 1, TN - 9, FP - 0, FN - 40, тоді precision = 1.0, a recall = 0.024390243902439025
Для зображення plank7	TP - 2, TN - 8, FP - 0, FN - 40, тоді precision = 1.0, a recall = 0.047619047619047616
Для зображення plank8	TP - 1, TN - 9, FP - 0, FN - 40, тоді precision = 1.0, a recall = 0.024390243902439025
Для зображення plank9	TP - 1, TN - 9, FP - 0, FN - 40, тоді precision = 1.0, a recall = 0.024390243902439025
Для зображення plank10	TP - 1, TN - 9, FP - 0, FN - 40, тоді precision = 1.0, a recall = 0.024390243902439025
Для зображення cotton1	TP - 10, TN - 0, FP - 9, FN - 31, тоді precision = 0.5263157894736842, a recall = 0.24390243902439024
Для зображення cotton2	TP - 7, TN - 3, FP - 8, FN - 32, тоді precision = 0.46666666666666667, a recall = 0.1794871794871795
Для зображення cotton3	TP - 7, TN - 3, FP - 8, FN - 32, тоді precision = 0.46666666666666667, a recall = 0.1794871794871795
Для зображення cotton4	TP - 10, TN - 0, FP - 9, FN - 31, тоді precision = 0.5263157894736842, a recall = 0.24390243902439024
Для зображення cotton5	TP - 8, TN - 2, FP - 10, FN - 30, тоді precision = 0.44444444444444444, a recall = 0.21052631578947367
Для зображення cotton6	TP - 6, TN - 4, FP - 4, FN - 36, тоді precision = 0.6, a recall = 0.14285714285714285
Для зображення cotton7	TP - 8, TN - 2, FP - 9, FN - 31, тоді precision = 0.47058823529411764, a recall = 0.20512820512820512
Для зображення cotton8	TP - 9, TN - 1, FP - 9, FN - 31, тоді precision = 0.5, a recall = 0.225
Для зображення cotton9	TP - 6, TN - 4, FP - 5, FN - 35, тоді precision = 0.5454545454545454, a recall = 0.14634146341463414
Для зображення cotton10	TP - 5, TN - 5, FP - 4, FN - 36, тоді precision = 0.55555555555555556, a recall = 0.12195121951219512

Рисунок 3.36 – Результат виконання коду обчислення Precision та Recall для кожного зображення для методу ЛБШ

Загальний результат для precision = 0.7415690619150372 , а для recall = 0.08280656990882522

Рисунок 3.37 – Результат виконання коду обчислення Precision та Recall для всіх зображень для методу ЛБШ

```

Для зображення grass1 TP - 7 , TN - 3 , FP - 0 , FN - 40 , тоді precision = 1.0 , a recall = 0.14893617021276595
Для зображення grass2 TP - 4 , TN - 6 , FP - 0 , FN - 40 , тоді precision = 1.0 , a recall = 0.09090909090909091
Для зображення grass3 TP - 6 , TN - 4 , FP - 2 , FN - 38 , тоді precision = 0.75 , a recall = 0.13636363636363635
Для зображення grass4 TP - 7 , TN - 3 , FP - 0 , FN - 40 , тоді precision = 1.0 , a recall = 0.14893617021276595
Для зображення grass5 TP - 6 , TN - 4 , FP - 0 , FN - 40 , тоді precision = 1.0 , a recall = 0.13043478260869565
Для зображення grass6 TP - 4 , TN - 6 , FP - 3 , FN - 37 , тоді precision = 0.5714285714285714 , a recall = 0.0975609756097561
Для зображення grass7 TP - 3 , TN - 7 , FP - 3 , FN - 37 , тоді precision = 0.5 , a recall = 0.075
Для зображення grass8 TP - 4 , TN - 6 , FP - 2 , FN - 38 , тоді precision = 0.6666666666666666 , a recall = 0.09523809523809523
Для зображення grass9 TP - 7 , TN - 3 , FP - 1 , FN - 39 , тоді precision = 0.875 , a recall = 0.15217391304347827
Для зображення grass10 TP - 6 , TN - 4 , FP - 1 , FN - 39 , тоді precision = 0.8571428571428571 , a recall = 0.13333333333333333
Для зображення brick1 TP - 5 , TN - 5 , FP - 4 , FN - 36 , тоді precision = 0.5555555555555556 , a recall = 0.12195121951219512
Для зображення brick2 TP - 2 , TN - 8 , FP - 5 , FN - 35 , тоді precision = 0.2857142857142857 , a recall = 0.05405405405405406
Для зображення brick3 TP - 3 , TN - 7 , FP - 3 , FN - 37 , тоді precision = 0.5 , a recall = 0.075
Для зображення brick4 TP - 6 , TN - 4 , FP - 4 , FN - 36 , тоді precision = 0.6 , a recall = 0.14285714285714285
Для зображення brick5 TP - 5 , TN - 5 , FP - 5 , FN - 35 , тоді precision = 0.5 , a recall = 0.125
Для зображення brick6 TP - 4 , TN - 6 , FP - 3 , FN - 37 , тоді precision = 0.5714285714285714 , a recall = 0.0975609756097561
Для зображення brick7 TP - 3 , TN - 7 , FP - 4 , FN - 36 , тоді precision = 0.42857142857142855 , a recall = 0.07692307692307693
Для зображення brick8 TP - 4 , TN - 6 , FP - 4 , FN - 36 , тоді precision = 0.5 , a recall = 0.1
Для зображення brick9 TP - 3 , TN - 7 , FP - 3 , FN - 37 , тоді precision = 0.5 , a recall = 0.075
Для зображення brick10 TP - 1 , TN - 9 , FP - 3 , FN - 37 , тоді precision = 0.25 , a recall = 0.02631578947368421
Для зображення wood1 TP - 4 , TN - 6 , FP - 4 , FN - 36 , тоді precision = 0.5 , a recall = 0.1
Для зображення wood2 TP - 1 , TN - 9 , FP - 0 , FN - 40 , тоді precision = 1.0 , a recall = 0.024390243902439025
Для зображення wood3 TP - 3 , TN - 7 , FP - 4 , FN - 36 , тоді precision = 0.42857142857142855 , a recall = 0.07692307692307693
Для зображення wood4 TP - 4 , TN - 6 , FP - 2 , FN - 38 , тоді precision = 0.6666666666666666 , a recall = 0.09523809523809523
Для зображення wood5 TP - 1 , TN - 9 , FP - 1 , FN - 39 , тоді precision = 0.5 , a recall = 0.025
Для зображення wood6 TP - 3 , TN - 7 , FP - 4 , FN - 36 , тоді precision = 0.42857142857142855 , a recall = 0.07692307692307693
Для зображення wood7 TP - 4 , TN - 6 , FP - 4 , FN - 36 , тоді precision = 0.5 , a recall = 0.1
Для зображення wood8 TP - 3 , TN - 7 , FP - 2 , FN - 38 , тоді precision = 0.6 , a recall = 0.07317073170731707
Для зображення wood9 TP - 1 , TN - 9 , FP - 0 , FN - 40 , тоді precision = 1.0 , a recall = 0.024390243902439025
Для зображення wood10 TP - 2 , TN - 8 , FP - 8 , FN - 32 , тоді precision = 0.2 , a recall = 0.058823529411764705
Для зображення plank1 TP - 1 , TN - 9 , FP - 1 , FN - 39 , тоді precision = 0.5 , a recall = 0.025
Для зображення plank2 TP - 3 , TN - 7 , FP - 0 , FN - 40 , тоді precision = 1.0 , a recall = 0.06976744186046512
Для зображення plank3 TP - 4 , TN - 6 , FP - 4 , FN - 36 , тоді precision = 0.5 , a recall = 0.1
Для зображення plank4 TP - 3 , TN - 7 , FP - 1 , FN - 39 , тоді precision = 0.75 , a recall = 0.07142857142857142
Для зображення plank5 TP - 7 , TN - 3 , FP - 1 , FN - 39 , тоді precision = 0.875 , a recall = 0.15217391304347827
Для зображення plank6 TP - 4 , TN - 6 , FP - 3 , FN - 37 , тоді precision = 0.5714285714285714 , a recall = 0.0975609756097561
Для зображення plank7 TP - 5 , TN - 5 , FP - 2 , FN - 38 , тоді precision = 0.7142857142857143 , a recall = 0.11627906976744186
Для зображення plank8 TP - 4 , TN - 6 , FP - 4 , FN - 36 , тоді precision = 0.5 , a recall = 0.1
Для зображення plank9 TP - 5 , TN - 5 , FP - 1 , FN - 39 , тоді precision = 0.8333333333333334 , a recall = 0.11363636363636363
Для зображення plank10 TP - 4 , TN - 6 , FP - 0 , FN - 40 , тоді precision = 1.0 , a recall = 0.09090909090909091
Для зображення cotton1 TP - 7 , TN - 3 , FP - 1 , FN - 39 , тоді precision = 0.875 , a recall = 0.15217391304347827
Для зображення cotton2 TP - 9 , TN - 1 , FP - 0 , FN - 40 , тоді precision = 1.0 , a recall = 0.1836734693877551
Для зображення cotton3 TP - 9 , TN - 1 , FP - 0 , FN - 40 , тоді precision = 1.0 , a recall = 0.1836734693877551
Для зображення cotton4 TP - 5 , TN - 5 , FP - 0 , FN - 40 , тоді precision = 1.0 , a recall = 0.11111111111111111
Для зображення cotton5 TP - 8 , TN - 2 , FP - 0 , FN - 40 , тоді precision = 1.0 , a recall = 0.16666666666666666
Для зображення cotton6 TP - 1 , TN - 9 , FP - 0 , FN - 40 , тоді precision = 1.0 , a recall = 0.024390243902439025
Для зображення cotton7 TP - 8 , TN - 2 , FP - 0 , FN - 40 , тоді precision = 1.0 , a recall = 0.16666666666666666
Для зображення cotton8 TP - 8 , TN - 2 , FP - 0 , FN - 40 , тоді precision = 1.0 , a recall = 0.16666666666666666
Для зображення cotton9 TP - 9 , TN - 1 , FP - 0 , FN - 40 , тоді precision = 1.0 , a recall = 0.1836734693877551
Для зображення cotton10 TP - 8 , TN - 2 , FP - 1 , FN - 39 , тоді precision = 0.8888888888888888 , a recall = 0.1702127659574468

```

Рисунок 3.38 – Результат виконання коду обчислення Precision та Recall для кожного зображення для методу, на основі матриці збігів

Загальний результат для precision = 0.7148650793650794 , а для recall = 0.10408142584805292

Рисунок 3.39 – Результат виконання коду обчислення Precision та Recall для всіх зображень для методу, на основі матриці збігів

Також, розглянемо різницю роботи алгоритмів при використанні різних критеріїв оцінки, а саме манхеттенської та евклідової метрики. Результат

порівняння манхеттенської та евклідової метрики та двох методів відображено на рисунках 3.40, 3.41.

Результат порівняння	cotton6	та	grass1 : манхеттенська	-	0.0013388241038602945	,	евклідова	-	0.00030253220485085215
Результат порівняння	cotton6	та	grass2 : манхеттенська	-	0.0019415761910232848	,	евклідова	-	0.00044457293559975686
Результат порівняння	cotton6	та	grass3 : манхеттенська	-	0.0028140797334558825	,	евклідова	-	0.0006856389219004052
Результат порівняння	cotton6	та	grass4 : манхеттенська	-	0.001879104913449755	,	евклідова	-	0.0004216605481008681
Результат порівняння	cotton6	та	grass5 : манхеттенська	-	0.0016607845530790446	,	евклідова	-	0.0003690498172581119
Результат порівняння	cotton6	та	grass6 : манхеттенська	-	0.005648626100255368	,	евклідова	-	0.0011945015646993417
Результат порівняння	cotton6	та	grass7 : манхеттенська	-	0.007459517468793048	,	евклідова	-	0.0015611492151118495
Результат порівняння	cotton6	та	grass8 : манхеттенська	-	0.0071240879164556235	,	евклідова	-	0.001504609498261371
Результат порівняння	cotton6	та	grass9 : манхеттенська	-	0.006041270639435067	,	евклідова	-	0.0012789618100434328
Результат порівняння	cotton6	та	grass10 : манхеттенська	-	0.0021762623506433824	,	евклідова	-	0.0005263830962175378
Результат порівняння	cotton6	та	brick1 : манхеттенська	-	0.004237527101926019	,	евклідова	-	0.0010049761045867209
Результат порівняння	cotton6	та	brick2 : манхеттенська	-	0.0029993094649969354	,	евклідова	-	0.0006676145447752779
Результат порівняння	cotton6	та	brick3 : манхеттенська	-	0.005282039510287935	,	евклідова	-	0.0010012554128986414
Результат порівняння	cotton6	та	brick4 : манхеттенська	-	0.002151878207337622	,	евклідова	-	0.0004913088051352694
Результат порівняння	cotton6	та	brick5 : манхеттенська	-	0.0053939495895243186	,	евклідова	-	0.0012252713121321574
Результат порівняння	cotton6	та	brick6 : манхеттенська	-	0.0050092165009764525	,	евклідова	-	0.0009943016514575025
Результат порівняння	cotton6	та	brick7 : манхеттенська	-	0.003305971436412532	,	евклідова	-	0.0006730450894554443
Результат порівняння	cotton6	та	brick8 : манхеттенська	-	0.005257120828557087	,	евклідова	-	0.001048455390409192
Результат порівняння	cotton6	та	brick9 : манхеттенська	-	0.003947486367488697	,	евклідова	-	0.0007811846650080203
Результат порівняння	cotton6	та	brick10 : манхеттенська	-	0.002759656719132966	,	евклідова	-	0.0006419914037446266
Результат порівняння	cotton6	та	wood1 : манхеттенська	-	0.006020831479214038	,	евклідова	-	0.0014285131994060066
Результат порівняння	cotton6	та	wood2 : манхеттенська	-	0.004542146902751153	,	евклідова	-	0.001019352069539253
Результат порівняння	cotton6	та	wood3 : манхеттенська	-	0.007884264539527598	,	евклідова	-	0.001956153231636141
Результат порівняння	cotton6	та	wood4 : манхеттенська	-	0.005085568833979999	,	евклідова	-	0.0009415382405222828
Результат порівняння	cotton6	та	wood5 : манхеттенська	-	0.011431623551511297	,	евклідова	-	0.0034157959265487944
Результат порівняння	cotton6	та	wood6 : манхеттенська	-	0.005466440834665487	,	евклідова	-	0.0014126209894321053
Результат порівняння	cotton6	та	wood7 : манхеттенська	-	0.005294677308357453	,	евклідова	-	0.001343386761327155
Результат порівняння	cotton6	та	wood8 : манхеттенська	-	0.005653816222096066	,	евклідова	-	0.0013346621106225553
Результат порівняння	cotton6	та	wood9 : манхеттенська	-	0.004421678181784818	,	евклідова	-	0.0009282036492120803
Результат порівняння	cotton6	та	wood10 : манхеттенська	-	0.007849921088569644	,	евклідова	-	0.002124716631410729
Результат порівняння	cotton6	та	plank1 : манхеттенська	-	0.004624370201313792	,	евклідова	-	0.0010777100458835215
Результат порівняння	cotton6	та	plank2 : манхеттенська	-	0.007276081481239403	,	евклідова	-	0.0023126046585861546
Результат порівняння	cotton6	та	plank3 : манхеттенська	-	0.007079113984064614	,	евклідова	-	0.0017572527278879998
Результат порівняння	cotton6	та	plank4 : манхеттенська	-	0.0077247386250375374	,	евклідова	-	0.0017982770341797476
Результат порівняння	cotton6	та	plank5 : манхеттенська	-	0.007643169150634132	,	евклідова	-	0.002121482034559855
Результат порівняння	cotton6	та	plank6 : манхеттенська	-	0.007908565411128596	,	евклідова	-	0.0020750538478981847
Результат порівняння	cotton6	та	plank7 : манхеттенська	-	0.007300242411796257	,	евклідова	-	0.0018451619438221768
Результат порівняння	cotton6	та	plank8 : манхеттенська	-	0.006776211646100077	,	евклідова	-	0.0018006033607637299
Результат порівняння	cotton6	та	plank9 : манхеттенська	-	0.007129301821194515	,	евклідова	-	0.00187509125517756
Результат порівняння	cotton6	та	plank10 : манхеттенська	-	0.007757963304520924	,	евклідова	-	0.0019843004402844183
Результат порівняння	cotton6	та	cotton1 : манхеттенська	-	0.001640648935353925	,	евклідова	-	0.0003636514152923952
Результат порівняння	cotton6	та	cotton2 : манхеттенська	-	0.003281028597962622	,	евклідова	-	0.000701677729539402
Результат порівняння	cotton6	та	cotton3 : манхеттенська	-	0.0032514684340533085	,	евклідова	-	0.0006914742114068196
Результат порівняння	cotton6	та	cotton4 : манхеттенська	-	0.0018516390931372553	,	евклідова	-	0.0004000071919826922
Результат порівняння	cotton6	та	cotton5 : манхеттенська	-	0.002435601926317402	,	евклідова	-	0.0005174076705831624
Результат порівняння	cotton6	та	cotton6 : манхеттенська	-	0.0	,	евклідова	-	0.0
Результат порівняння	cotton6	та	cotton7 : манхеттенська	-	0.0017844405828737748	,	евклідова	-	0.00042026236214378254
Результат порівняння	cotton6	та	cotton8 : манхеттенська	-	0.0020376467237285542	,	евклідова	-	0.00046023382763219796
Результат порівняння	cotton6	та	cotton9 : манхеттенська	-	0.0018674962660845589	,	евклідова	-	0.0004070526954706676
Результат порівняння	cotton6	та	cotton10 : манхеттенська	-	0.001994301533418886	,	евклідова	-	0.0004200261876754409

Рисунок 3.40 – Результат виконання коду порівняння манхеттенської та евклідової метрики для методу ЛБШ

Результат порівняння	cotton6	та	grass1	: манхеттенська	-	0.27022298304692843	,	евклідова	-	0.27022298304692843
Результат порівняння	cotton6	та	grass2	: манхеттенська	-	0.3617535125639468	,	евклідова	-	0.3617535125639468
Результат порівняння	cotton6	та	grass3	: манхеттенська	-	0.2964512511674159	,	евклідова	-	0.2964512511674159
Результат порівняння	cotton6	та	grass4	: манхеттенська	-	0.30656614201815413	,	евклідова	-	0.30656614201815413
Результат порівняння	cotton6	та	grass5	: манхеттенська	-	0.27160421854184885	,	евклідова	-	0.27160421854184885
Результат порівняння	cotton6	та	grass6	: манхеттенська	-	0.38737379919232	,	евклідова	-	0.38737379919232
Результат порівняння	cotton6	та	grass7	: манхеттенська	-	0.4123799813082721	,	евклідова	-	0.4123799813082721
Результат порівняння	cotton6	та	grass8	: манхеттенська	-	0.4011424690570124	,	евклідова	-	0.4011424690570124
Результат порівняння	cotton6	та	grass9	: манхеттенська	-	0.30324817558089273	,	евклідова	-	0.30324817558089273
Результат порівняння	cotton6	та	grass10	: манхеттенська	-	0.2417322027241103	,	евклідова	-	0.2417322027241103
Результат порівняння	cotton6	та	brick1	: манхеттенська	-	0.42311957757554547	,	евклідова	-	0.42311957757554547
Результат порівняння	cotton6	та	brick2	: манхеттенська	-	0.36352724799092134	,	евклідова	-	0.36352724799092134
Результат порівняння	cotton6	та	brick3	: манхеттенська	-	0.3568102790303931	,	евклідова	-	0.3568102790303931
Результат порівняння	cotton6	та	brick4	: манхеттенська	-	0.4199171647324464	,	евклідова	-	0.4199171647324464
Результат порівняння	cotton6	та	brick5	: манхеттенська	-	0.41852578114837824	,	евклідова	-	0.41852578114837824
Результат порівняння	cotton6	та	brick6	: манхеттенська	-	0.4988982618579665	,	евклідова	-	0.4988982618579665
Результат порівняння	cotton6	та	brick7	: манхеттенська	-	0.40477613036623256	,	евклідова	-	0.40477613036623256
Результат порівняння	cotton6	та	brick8	: манхеттенська	-	0.5196444593383351	,	евклідова	-	0.5196444593383351
Результат порівняння	cotton6	та	brick9	: манхеттенська	-	0.5847124830470146	,	евклідова	-	0.5847124830470146
Результат порівняння	cotton6	та	brick10	: манхеттенська	-	0.5274465497354155	,	евклідова	-	0.5274465497354155
Результат порівняння	cotton6	та	wood1	: манхеттенська	-	0.393154766050056	,	евклідова	-	0.393154766050056
Результат порівняння	cotton6	та	wood2	: манхеттенська	-	0.6860769137837547	,	евклідова	-	0.6860769137837547
Результат порівняння	cotton6	та	wood3	: манхеттенська	-	0.561308604078055	,	евклідова	-	0.561308604078055
Результат порівняння	cotton6	та	wood4	: манхеттенська	-	0.3431406475718563	,	евклідова	-	0.3431406475718563
Результат порівняння	cotton6	та	wood5	: манхеттенська	-	0.7537574337855117	,	евклідова	-	0.7537574337855117
Результат порівняння	cotton6	та	wood6	: манхеттенська	-	0.4923041259581504	,	евклідова	-	0.4923041259581504
Результат порівняння	cotton6	та	wood7	: манхеттенська	-	0.3535781490447589	,	евклідова	-	0.3535781490447589
Результат порівняння	cotton6	та	wood8	: манхеттенська	-	0.29399779465705816	,	евклідова	-	0.29399779465705816
Результат порівняння	cotton6	та	wood9	: манхеттенська	-	0.541331992390054	,	евклідова	-	0.541331992390054
Результат порівняння	cotton6	та	wood10	: манхеттенська	-	0.5124266475478277	,	евклідова	-	0.5124266475478277
Результат порівняння	cotton6	та	plank1	: манхеттенська	-	0.6595034539945485	,	евклідова	-	0.6595034539945485
Результат порівняння	cotton6	та	plank2	: манхеттенська	-	0.6597923516541416	,	евклідова	-	0.6597923516541416
Результат порівняння	cotton6	та	plank3	: манхеттенська	-	0.4676847322189122	,	евклідова	-	0.4676847322189122
Результат порівняння	cotton6	та	plank4	: манхеттенська	-	0.6571345825236733	,	евклідова	-	0.6571345825236733
Результат порівняння	cotton6	та	plank5	: манхеттенська	-	0.5940890796380095	,	евклідова	-	0.5940890796380095
Результат порівняння	cotton6	та	plank6	: манхеттенська	-	0.5918769552020385	,	евклідова	-	0.5918769552020385
Результат порівняння	cotton6	та	plank7	: манхеттенська	-	0.49910258849496497	,	евклідова	-	0.49910258849496497
Результат порівняння	cotton6	та	plank8	: манхеттенська	-	0.47030890932720243	,	евклідова	-	0.47030890932720243
Результат порівняння	cotton6	та	plank9	: манхеттенська	-	0.5022684410747755	,	евклідова	-	0.5022684410747755
Результат порівняння	cotton6	та	plank10	: манхеттенська	-	0.6259823430150551	,	евклідова	-	0.6259823430150551
Результат порівняння	cotton6	та	cotton1	: манхеттенська	-	0.1535131134945716	,	евклідова	-	0.1535131134945716
Результат порівняння	cotton6	та	cotton2	: манхеттенська	-	0.15976433432634404	,	евклідова	-	0.15976433432634404
Результат порівняння	cotton6	та	cotton3	: манхеттенська	-	0.1647954391590436	,	евклідова	-	0.1647954391590436
Результат порівняння	cotton6	та	cotton4	: манхеттенська	-	0.24117486647049527	,	евклідова	-	0.24117486647049527
Результат порівняння	cotton6	та	cotton5	: манхеттенська	-	0.14576290300601205	,	евклідова	-	0.14576290300601205
Результат порівняння	cotton6	та	cotton6	: манхеттенська	-	0.0	,	евклідова	-	0.0
Результат порівняння	cotton6	та	cotton7	: манхеттенська	-	0.19529414399311304	,	евклідова	-	0.19529414399311304
Результат порівняння	cotton6	та	cotton8	: манхеттенська	-	0.19124081981752536	,	евклідова	-	0.19124081981752536
Результат порівняння	cotton6	та	cotton9	: манхеттенська	-	0.1853657067914797	,	евклідова	-	0.1853657067914797
Результат порівняння	cotton6	та	cotton10	: манхеттенська	-	0.20564612161140525	,	евклідова	-	0.20564612161140525

Рисунок 3.41 – Результат виконання коду порівняння манхеттенської та евклідової метрики для методу, на основі матриці збігів

На основі оцінки класифікатора було встановлено, що метод лінійних бінарних шаблонів (ЛБШ) виявився більш ефективним за точністю. Це означає, що більша частка документів, визначених цим методом як належні до певного класу, дійсно належать до цього класу порівняно з усіма документами, які система віднесла до цього класу. Однак метод на основі матриці збігів показав кращі результати за показником повноти, тобто здатністю виявляти позитивні випадки серед усіх можливих позитивних випадків, хоча загальні показники повноти були низькими для обох методів.

Ці два показники — точність та повнота — є ключовими для оцінки ефективності класифікатора. Оскільки кожен з методів має свої переваги в різних аспектах, не можна однозначно стверджувати, який з методів є кращим. Це залежить від конкретних вимог та цілей дослідження. В таких випадках часто використовується додатковий показник, такий як F-міра, який комбінує точність та повноту, щоб надати більш комплексну оцінку ефективності алгоритму.

3.7.2 Оцінка якості класифікації на основі моделі MobileNetV2

Для передбачення класу за допомогою донавченої в розділі 3.6.2 мережі MobileNetV2 точність класифікації набагато вища. На тестовому наборі даних точність дорівнює 0.95 (рис.3.42).

```
# оцінка роботи на тестовому наборі даних
ev = model.evaluate(x500_test, y500_test)
print('Test loss ', ev[0])
print('Test metric', ev[1])

4/4 [=====] - 2s
Test loss  0.14514638483524323
Test metric 0.949999988079071
```

Рисунок 3.42 – Значення асигасу моделі на тестовому наборі

Далі були розраховані accuracy (рис. 3.43), precision, recall, f1-score для кожного класу (рис. 3.44).

```
# Compute and print the accuracy for each class
for class_id, class_name in classes500.items():
    mask = y500_true == class_id
    tp = np.sum(y500_pred[mask] == class_id)
    total = np.sum(mask)
    acc = tp/total
    print('Class -', class_name, ' acc', acc)

Class - brick acc 0.9583333333333334
Class - fabric acc 0.9166666666666666
Class - grass acc 1.0
Class - laminate acc 0.88
Class - wood acc 1.0
```

Рисунок 3.43 – Лістинг коду та результат обчислення accuracy для кожного класу

```

from sklearn.metrics import classification_report
report = classification_report(y500_true, y500_pred)
print(report)

```

	precision	recall	f1-score	support
0	1.00	0.96	0.98	24
1	1.00	0.92	0.96	12
2	1.00	1.00	1.00	18
3	0.96	0.88	0.92	25
4	0.84	1.00	0.91	21
accuracy			0.95	100
macro avg	0.96	0.95	0.95	100
weighted avg	0.96	0.95	0.95	100

Рисунок 3.44 – Лістинг коду та результат обчислення precision, recall, f1-score для кожного класу

Таким чином, класифікація на основі навченої у 3.6.2 моделі MobileNetV2 набагато краща ніж класичними методами, середнє значення precision, recall дорівнює 0,96 та 0,95 відповідно. Але з рисунку 3.44 видно, що точність окремих класів, значно нижча, наприклад для класів 3 –laminate, 4 – wood, імовірно це пов'язано зі схожістю зображень у цих класах. Також з рисунку 3.44 видно, що під час розділення датасету на тренувальних та тестових набір не була збережена пропорціональність між кількістю зображень в класах. Тому було вирішено провести додаткові експерименти з метою підвищення точність моделі.

3.7.3 Підвищення якості класифікації на основі MobileNetV2

Для підвищення точності моделі по-перше необхідно збалансувати класи під час розподілу датасету на тренувальну та тестову вибірки. Для цього для функції `train_test_split` був використаний параметр `stratify`. Параметр `stratify` гарантує, що навчальний і тестовий набори матимуть ту саму пропорцію зразків кожного класу, що й вихідний датасет. В датасеті 5 класів по 100 зображень у кожному, необхідно виконати поділ так, щоб у тестовому

наборі було рівно 20 зображень від кожного класу, а в навчальному - решта 80. Для цього параметру `stratify` було призначено `y500`. Масив `y500` має містити мітки класів для кожного зображення. Функція `train_test_split` збереже пропорцію класів у навчальному і тестовому наборах такою самою, як у вихідних даних (рис. 3.45).

```
# поділ датасету для тренування і тестування
x500_train, x500_test, y500_train, y500_test = train_test_split(x500, y500, train_size=0.8, shuffle=True, stratify=y500)
```

Рисунок 3.45 – Лістинг коду для пропорційного ділення датасету на тренувальний та тестовий набір

Також була використана можливість обрання найкращої моделі під час навчання та можливість ранньої зупинки (рис. 3.46, 3.47).

```
# Налаштування EarlyStopping, ModelCheckpoint
from keras.callbacks import EarlyStopping, ModelCheckpoint
callbacks_list = [EarlyStopping(monitor='loss', patience=8, restore_best_weights=True),
                  ModelCheckpoint(filepath='model_clasif5_best.h5', monitor='loss',
                                  save_best_only=True)]
```

Рисунок 3.46 – Налаштування функцій ранньої зупинки та збереження найкращої моделі

```
epochs = 100
batch_size = 40
# Compile the model
model.compile(loss="categorical_crossentropy", optimizer=Adam(1e-6), metrics=["accuracy"])
# Train the model
start = time.time()
history = model.fit(x500_train, y500_train, batch_size=batch_size, epochs=epochs, validation_split=0.1, callbacks=callbacks_list)
print('Elapsed time', time.time() - start)
```

Рисунок 3.47 – Навчання моделі з використанням ранньої зупинки та збереженням найкращої моделі (за параметром функції втрат `loss0`)

Модель навчалась тільки 63 із заданих 100 епох, досягла точності 0.98 на валідаційному наборі і під час навчання була збережена найкраща модель `model_clasif5_best.h5`, яка на тестовому наборі теж показала точність 0.98

(рис. 3.48). Точність класифікації для окремих класів також значно покращилась (рис. 3.49, 3.50), але все одно деякі класи мають більше помилок класифікації.

```
# оцінка роботи на тестовому наборі даних
ev = model_load.evaluate(x500_test, y500_test)
print('Test loss ', ev[0])
print('Test metric', ev[1])

4/4 [=====] - 1s 45ms/step
Test loss  0.1116376519203186
Test metric 0.9800000190734863
```

Рисунок 3.48 – Значення loss та ассурагу для тестового набору

```
# Compute and print the accuracy for each class
for class_id, class_name in classes500.items():
    mask = y500_true == class_id
    tp = np.sum(y500_pred[mask] == class_id)
    total = np.sum(mask)
    acc = tp/total
    print('Class -', class_name, ' acc', acc)

Class - brick acc 1.0
Class - fabric acc 1.0
Class - grass acc 1.0
Class - laminate acc 0.95
Class - wood acc 0.95
```

Рисунок 3.49 – Значення ассурагу для кожного класу

```
from sklearn.metrics import classification_report
report = classification_report(y500_true, y500_pred)
print(report)
```

	precision	recall	f1-score	support
0	1.00	1.00	1.00	20
1	0.95	1.00	0.98	20
2	1.00	1.00	1.00	20
3	1.00	0.95	0.97	20
4	0.95	0.95	0.95	20
accuracy			0.98	100
macro avg	0.98	0.98	0.98	100
weighted avg	0.98	0.98	0.98	100

Рисунок 3.50 – Значення precision, recall, f1-score для кожного класу

3.7.4 Розширення датасету текстур та класифікація текстур з розширеного датасету на основі моделі MobileNetV2

Для реальних задач кількість класів може бути суттєво більша ніж 5, тому було вирішено розширити датасет текстур до 10 класів донавчити модель MobileNetV2 та оцінити значенні точності класифікації. Таким чином, в розширеному датасеті буде 10 класів: leaves, brick, grass, fabric, wood, laminate, water, asphalt, soil, bark (рис. 3.51, 3.52)

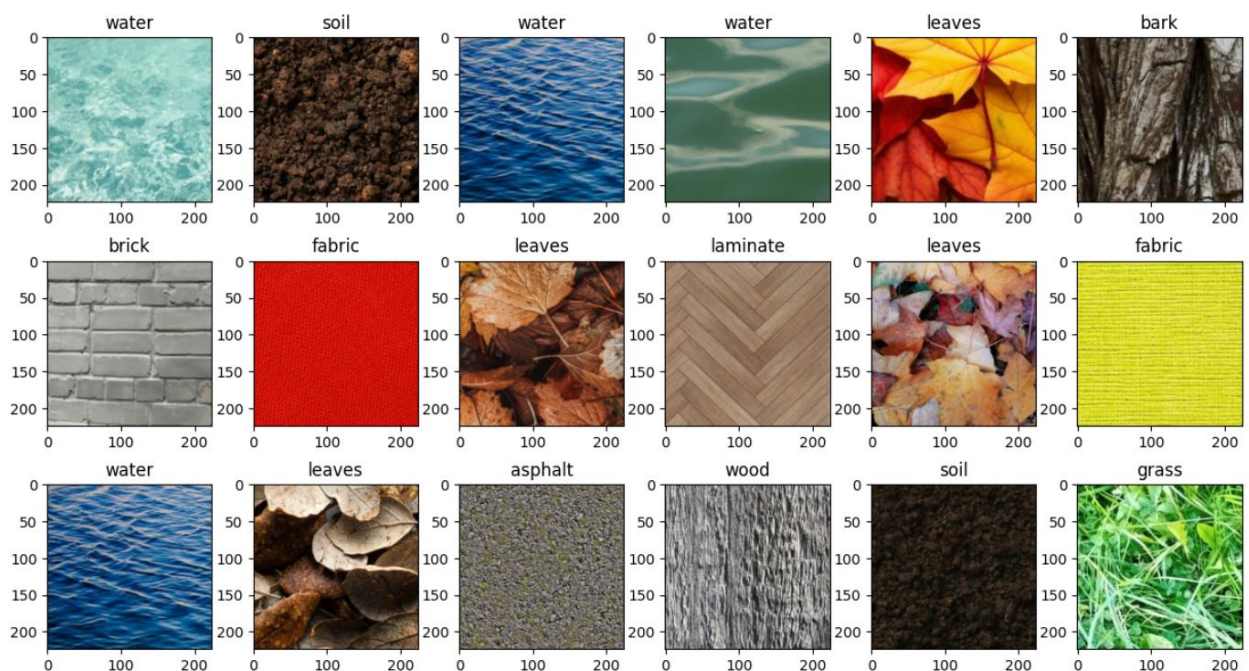


Рисунок 3.51 – Випадково вибрані зображення з розширеного датасету, що містить 10 класів

```
# Mapping from class ID to class name
classes1000 = {0:'leaves', 1:'brick', 2:'grass', 3:'fabric', 4:'wood', 5:'laminate', 6:'water', 7:'asphalt', 8:'soil', 9:'bark'}
```

Рисунок 3.52 – Лістинг для задання 10 класів

Далі були для навчання були використані налаштування, як на рисунках 3,45 – 3,47. Модель для класифікації на 10 класів донавчилась за 162,62 мс. Навчання було закінчено на 84 епохі з 100, точність моделі на 84 епохі на тренувальній виборці дорівнювала 0,973, на валідаційній – 0,975 (рис. 3.53).

При чому найкраща модель показала на тестовий виборці точність 0,9449999, тобто приблизно 0,95 (рис. 3.54). Точність для кожного класу наведена на рисунках 3.55, 3.56.

Train Acc 0.9736111164093018
Validation Acc 0.9750000238418579

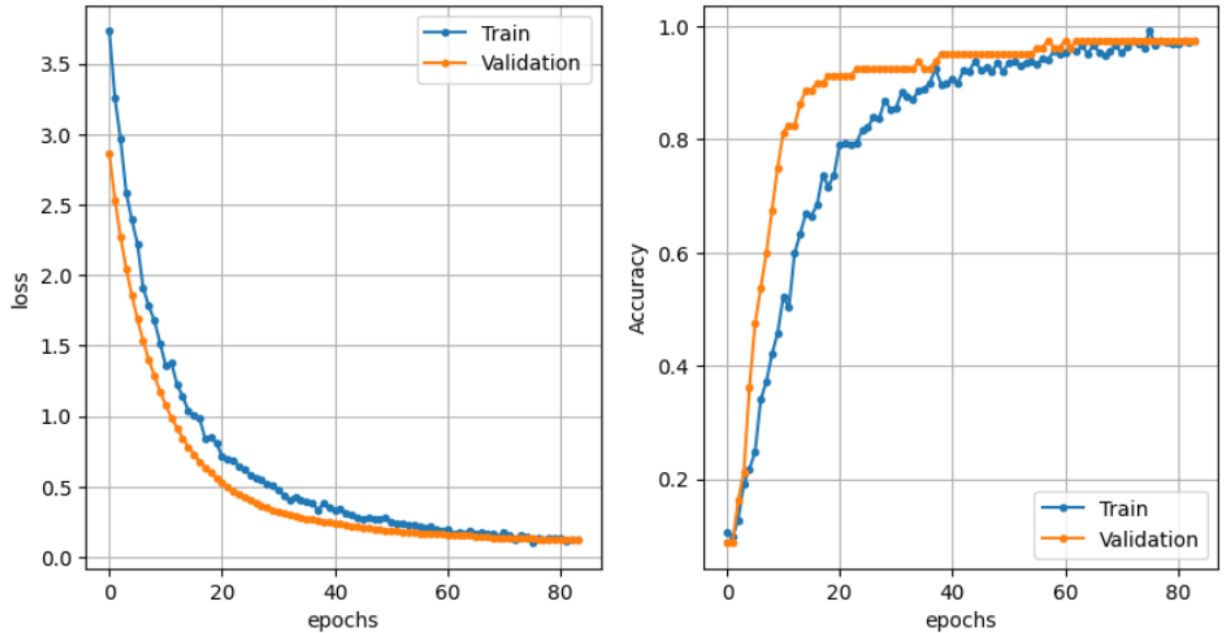


Рисунок 3.53 – Ілюстрація змін loss та асигуру для тренувальної та валідаційної частини розширеного датасету

```
# оцінка роботи на тестовому наборі даних
ev = model_load.evaluate(x_test, y_test)
print('Test loss ', ev[0])
print('Test metric', ev[1])

7/7 [=====] - 0s
Test loss  0.17850644886493683
Test metric 0.9449999928474426
```

Рисунок 3.54 – Значення loss та асигуру для тестового набору розширеного датасету

```
# Compute and print the accuracy for each class
for class_id, class_name in classes1000.items():
    mask = y_true == class_id
    tp = np.sum(y_pred[mask] == class_id)
    total = np.sum(mask)
    acc = tp/total
    print('Class -', class_name, ' acc', acc)

Class - leaves acc 1.0
Class - brick acc 1.0
Class - grass acc 1.0
Class - fabric acc 0.95
Class - wood acc 0.95
Class - laminate acc 0.85
Class - water acc 0.95
Class - asphalt acc 0.95
Class - soil acc 0.9
Class - bark acc 0.9
```

Рисунок 3.55 – Значення асигуасу для кожного класу розширеного датасету

```
from sklearn.metrics import classification_report
report = classification_report(y_true, y_pred)
print(report)
```

	precision	recall	f1-score	support
0	1.00	1.00	1.00	20
1	0.95	1.00	0.98	20
2	1.00	1.00	1.00	20
3	0.90	0.95	0.93	20
4	0.83	0.95	0.88	20
5	1.00	0.85	0.92	20
6	1.00	0.95	0.97	20
7	0.86	0.95	0.90	20
8	1.00	0.90	0.95	20
9	0.95	0.90	0.92	20
accuracy			0.94	200
macro avg	0.95	0.95	0.95	200
weighted avg	0.95	0.94	0.95	200

Рисунок 3.56 – Значення precision, recall, f1-score для кожного класу розширеного датасету

Для розуміння проблеми з класифікацією окремих класів була побудована матриця помилок (confusion matrix) (рис.3.57). Матриця помилок у разі багатокласової класифікації являє собою таблицю, де кожен рядок представляє справжні класи, а кожен стовпець – передбачені класи. Ця матриця дає змогу візуалізувати якість алгоритму класифікації щодо кожного класу. Для багатокласової класифікації матриця зазвичай має розміри $N \times N$, де N – кількість класів. Діагональні елементи матриці показують кількість правильних передбачень для кожного класу. Це означає, що для комірки $[i, i]$,

вона показує, скільки разів клас i було правильно класифіковано. Недіагональні елементи показують помилки класифікації. Значення в комірці $[i, j]$ показує, скільки разів зразки, які насправді належать до класу i , були помилково класифіковані як такі, що належать до класу j . Використовуючи матрицю помилок, можна визначити:

- загальну точність моделі (accuracy), де кількість правильних передбачень ділиться на загальну кількість передбачень (сума всіх значень у матриці);

- повноту для кожного класу (class recall), де кількість правильних передбачень для класу ділиться на загальну кількість зразків у цьому класі (сума значень у відповідному рядку), тобто $TP/(TP+FN)$;

- чутливість для кожного класу (class precision), де кількість правильних передбачень для класу ділиться на загальну кількість зразків, які справді належать до цього класу (сума значень у відповідному стовпчику), $TP/(TP+FP)$.

Матриця помилок особливо корисна для ідентифікації класів, які часто плутаються, що може вказувати на необхідність подальшої оптимізації моделі або попередньої обробки даних.

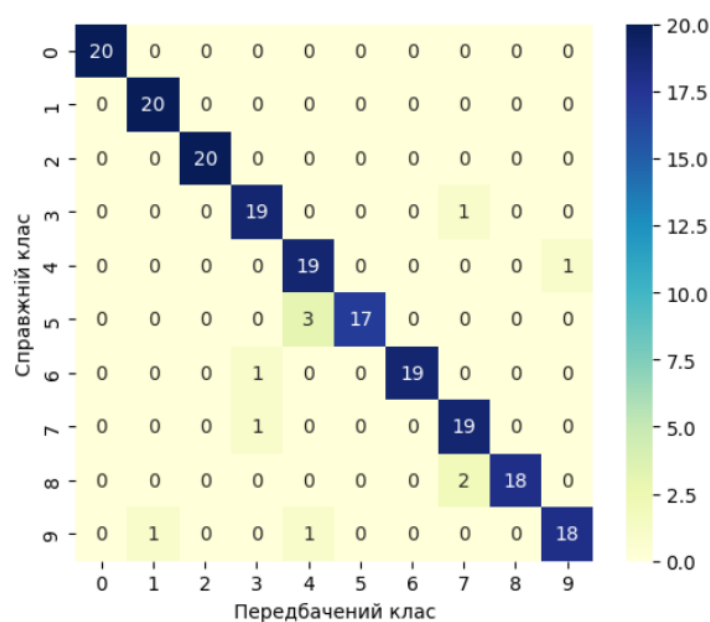


Рисунок 3.57 – Матриця помилок класифікації для розширеного датасету

Результати класифікації показані на рисунках 3.58 – 3.61, де на рисунку 3.61 присуня помилка класифікації.

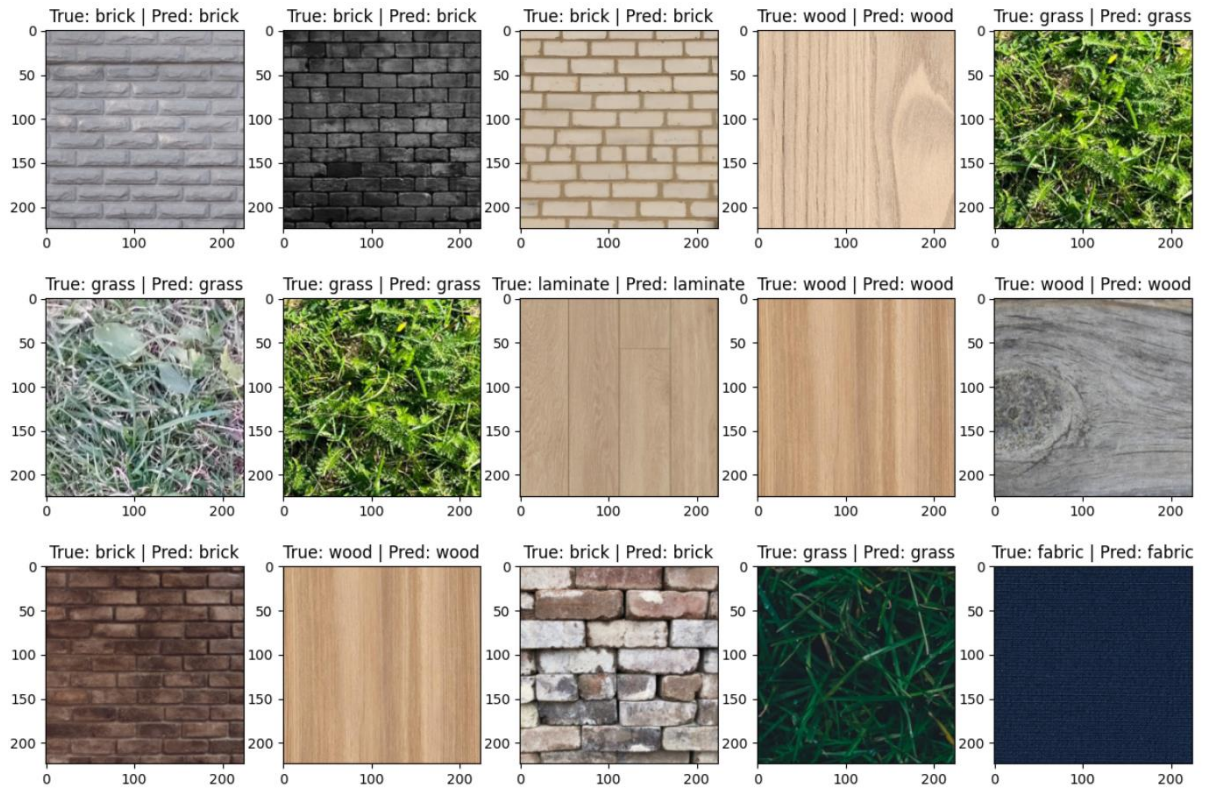


Рисунок 3.58 – Приклади класифікації розширеного датасету (без помилок)

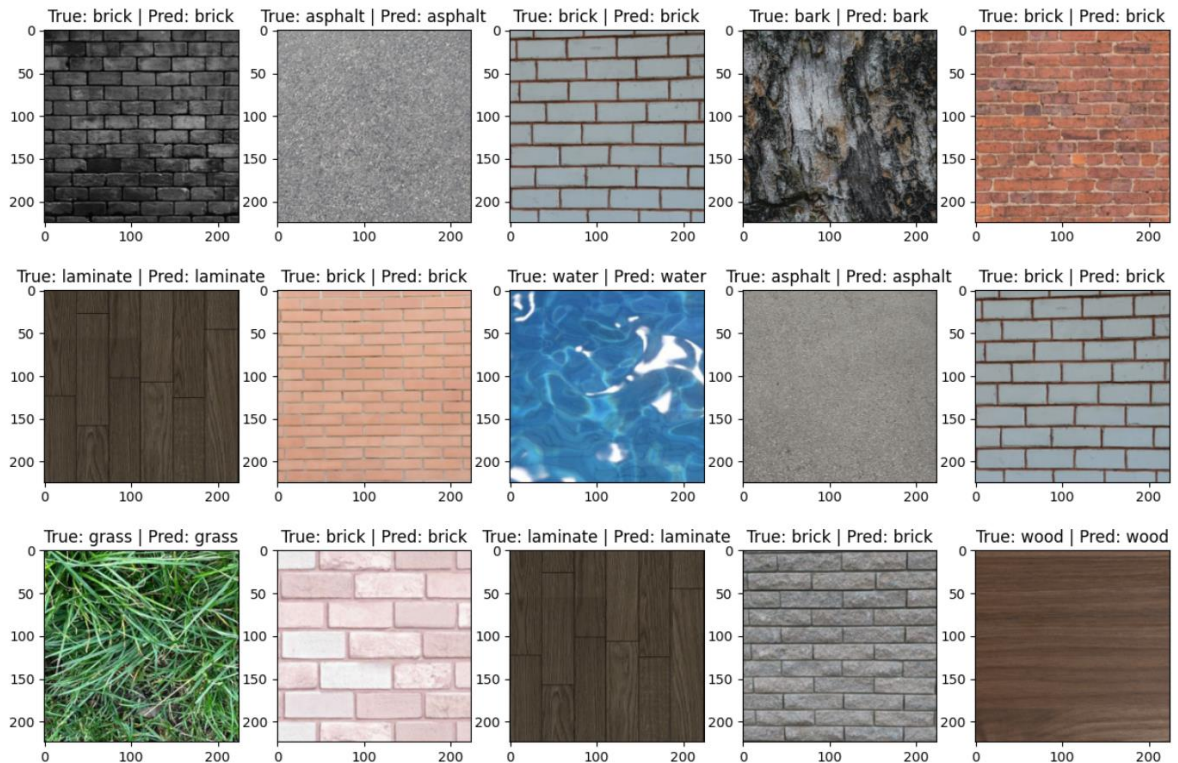


Рисунок 3.59 – Приклади класифікації розширеного датасету (без помилок)

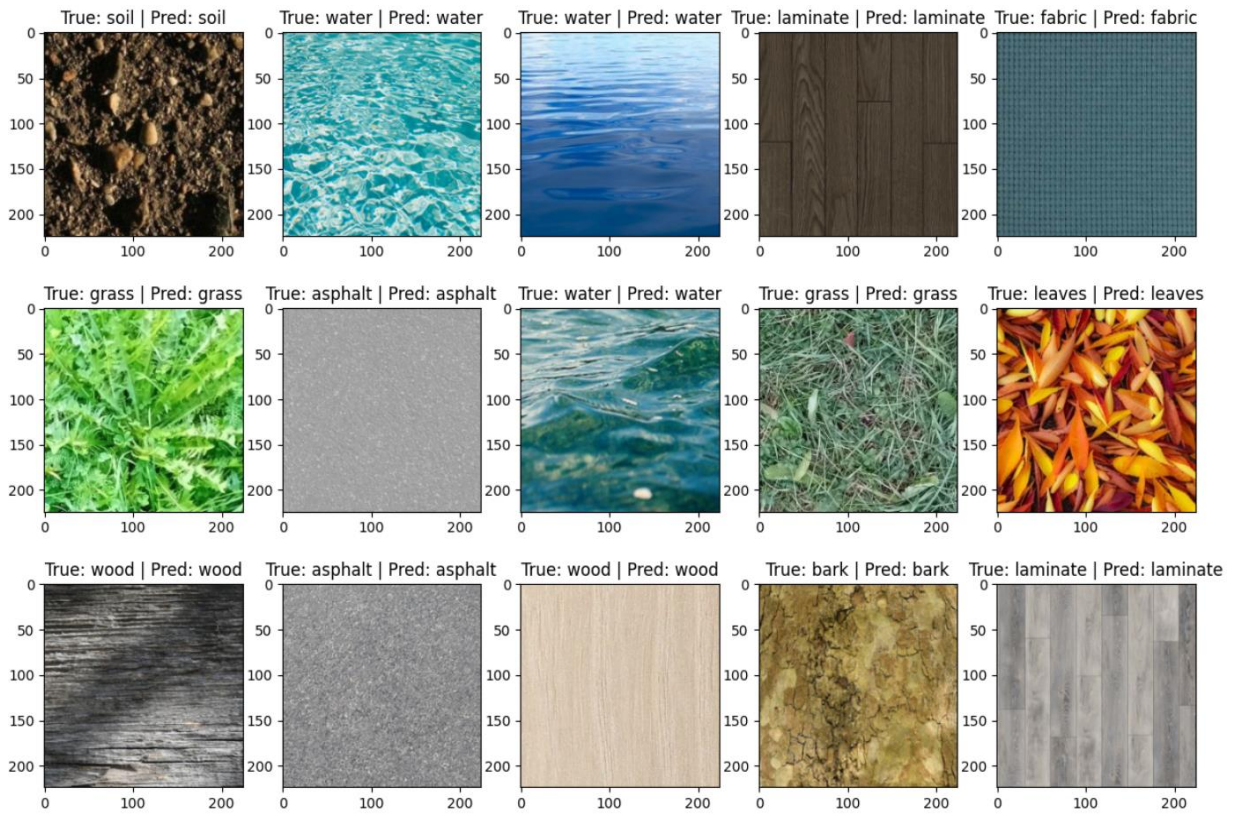


Рисунок 3.60 – Приклади класифікації розширеного датасету (без помилок)

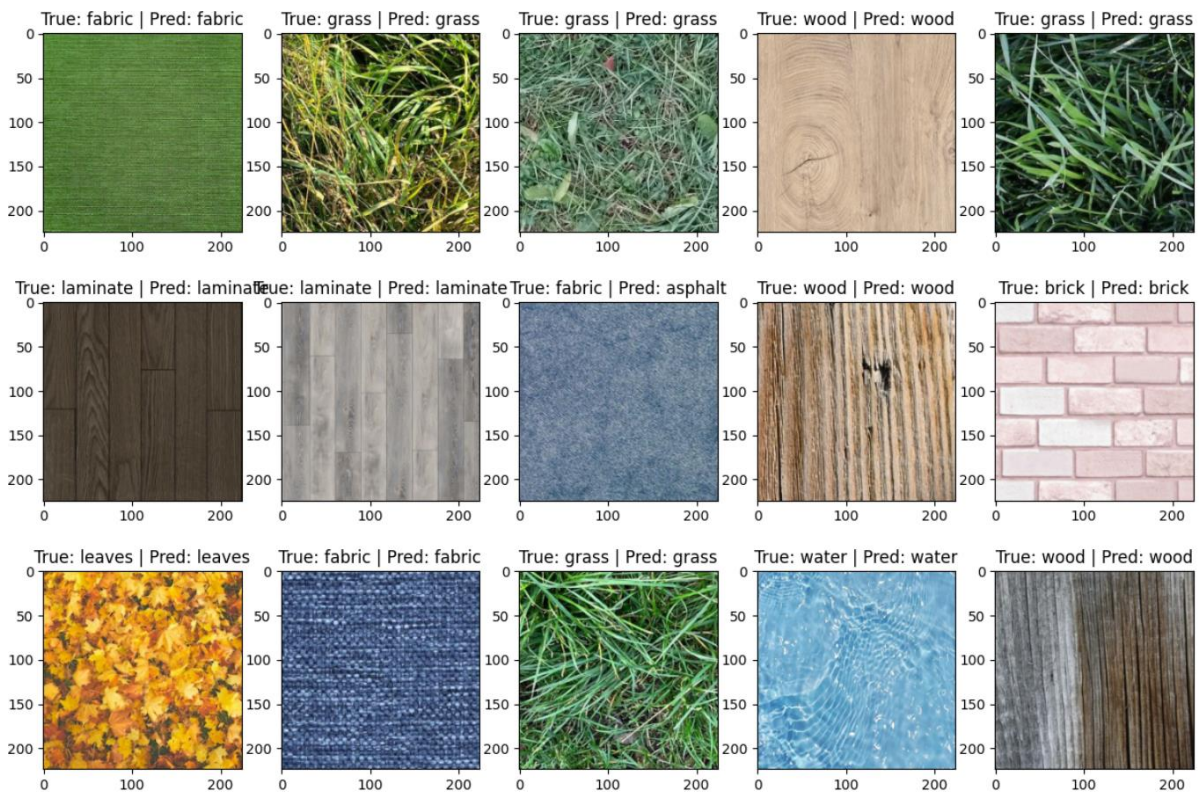


Рисунок 3.61 – Приклади класифікації розширеного датасету
(присутня помилка)

Таким чином, точність класифікації розширеного датасету трохи нижча, та дорівнює 0,95 (в порівнянні з 0,98 для датасету для 5 класів), але залишається досить високою для використання для багатьох реальних задач.

3.7.5 Порівняння швидкодії

Ще одним варіантом оцінки роботи алгоритму є оцінка швидкодії (рис. 3.62 , 3.63)

Загальний час роботи програмної моделі для ЛБШ : 5.336711406707764

Рисунок 3.62 – Результат виконання коду розрахунку швидкодії
для методу ЛБШ

Загальний час роботи програмної моделі для методу, на основі матриці збігів : 28.914587259292603

Рисунок 3.63 – Результат виконання коду розрахунку швидкодії для методу,
на основі матриці збігів

На основі аналізу ефективності, можна зробити висновок, що техніка ЛБШ демонструє більш високу швидкість обробки. Виявлена відмінність є значущою, хоча на даний момент, з огляду на обмежений розмір датасету, вона не впливає критично. Проте, з ростом обсягу електронного архіву, ефективність обробки даних стане ключовим фактором для вибору відповідного алгоритму.

Швидкість класифікації на основі донавченної моделі MobileNetV2 дорівнює близько 67 мс (рис. 3.64).

Час класифікації на основі моделі MobileNetV2: 67.78 ms

Час класифікації на основі моделі MobileNetV2 (для розширеного датасету):
67.43 ms

Рисунок 3.64 – Результат виконання коду розрахунку швидкодії для класифікації на основі донавченої моделі MobileNetV2

3.8 Висновки щодо розглянутих методів

Для аналізу алгоритмів були обрані два ключові параметри:

- якість класифікації, яка оцінюється через точність та повноту роботи алгоритму;
- швидкість обробки даних.

На основі проведеного дослідження можна зробити висновок, що обидва традиційні підходи не показали високих результатів у термінах класифікації. Максимально можливі показники точності та повноти становлять 1, але зафіксована точність для методу ЛБШ становить 0,76, а для методу на базі матриці збігів – 0,87. Щодо повноти, метод ЛБШ показав результат 0,59, тоді як метод з матрицею збігів – 0,54. Таким чином, метод ЛБШ переважає за точністю, а метод на основі матриці збігів – за повнотою. З погляду швидкості обробки даних, метод ЛБШ значно перевершує, будучи приблизно в 5 разів швидшим.

Класифікація на основі донавченої нейронної моделі MobileNetV2 дає набагато кращі результати. В випадку класифікації на 5 класів всі метрики (accuracy, precision, recall, f1-score) приймали значення 0,98. В випадку класифікації на 10 класів точність за розглянутими метриками знизилась до 0,95. Що говорить про необхідність подальших експериментів, наприклад, щодо збільшення кількості зразків для кожного класу.

ВИСНОВКИ

В рамках кваліфікаційної роботи було досліджено детальне вивчення методів пошуку текстурних зображень, зокрема, за допомогою класичних методів аналізу текстури, таких як локальні бінарні шаблони та метод на базі матриці збігів. Отримані результати цього дослідження були застосовані при розробці нового алгоритму та його програмній реалізації для виявлення текстурних зображень.

Протягом дослідження були розглянуті наступні теоретичні аспекти:

- аналіз сучасного стану досліджень в області аналізу текстурних зображень;
- вивчення різних методів опису текстур, включаючи класичні та нейромереві підходи;
- дослідження проблематики пошуку текстурних зображень;
- огляд сучасного програмного забезпечення для задач комп'ютерного зору;
- аналіз наявних датасетів зображень;
- вибір критеріїв для оцінки схожості текстур;
- розробка алгоритму пошуку текстурних зображень у цифрових колекціях;
- створення датасету текстурних зображень;
- реалізація алгоритму локальних бінарних шаблонів та методу на основі матриці збігів;
- доопрацювання нейромереві MobileNetV2;
- порівняльний аналіз результатів пошуку текстур за допомогою розглянутих методів;
- оцінка швидкодії вивчених методів;
- висновки щодо ефективності цих алгоритмів.

Експерименти з класичними алгоритмами виявили, що найшвидшим був

метод локальних бінарних шаблонів. Щодо метрик якості, результати обох методів були порівнянно ефективними (з легкою перевагою методу на основі матриці збігів за точністю та методу локальних бінарних шаблонів за повнотою), проте жоден з методів не демонстрував достатньо високу якість для задач, де висока ціна помилки може мати серйозні наслідки, наприклад, у сферах, пов'язаних з життям та здоров'ям людини. Однак, ці методи можуть бути корисними у менш критичних застосуваннях, як-от при пошуку текстур у стокових фотографіях.

Класифікація текстур на основі нейромережевого підходу, а саме на основі донавченої моделі MobileNetV2, показала значно кращу якість у порівнянні з класичними алгоритмами, а саме точність дорівнювала 0.98. Швидкодія же була в 10 разів гірша в порівнянні з методом ЛБШ, а в 3 рази гірша в порівнянні в матрицями збігів.

Таким чином, можна зробити висновок, що розглянути класичні алгоритми рекомендується використовувати в задачах, де потрібно швидко обробити великі об'єми даних, але лише в задачах не критичних, не пов'язаних з життям та безпекою. Навпаки нейроні моделі показали високу точність і можуть використатися в задачах більш критичних, де важливіша точність ніж швидкість. Однак швидкість обробки одного кадру в 67 мс достатня для обробки кадрів в реальному часі, тобто підходить для багатьох задач з реального життя.

У подальших дослідженнях для підвищення якості класифікації на основі нейронних моделей необхідно збільшити датсет, додавши кількість зразків для кожного класу.

Результати досліджень були апробовані на IV міжнародній науково-технічній конференції «The world of modern technologies and inventions».

ПЕРЕЛІК ДЖЕРЕЛ ПОСИЛАННЯ

1. Gorokhovatskyi V., Tvoroshenko I., and Yakovleva O. (2023) Transforming image descriptions as a set of descriptors to construct classification features. Бантул, Джок'якарта, Індонезія, Indonesian Journal of Electrical Engineering and Computer Science.
2. Yanholenko, O., Cherednichenko, O., Yakovleva, O., & Arkatov, D. (2020). A Model for Estimating the Security Level of Mobile Applications: a Fuzzy Logic Approach. In IntelITSIS (pp. 252-266).
3. Cherednichenko, O., Yanholenko, O., Liutenko, I., & Iakovleva, O. (2013). Monitoring and Evaluation Problems in Higer Education-Comprehensive Assessment Framework Development. In CSEDU (pp. 455-460).
4. Гречишкін Д.С. (2023). Аналіз у порівняльному аспекті моделей MCNN та CSRNET для вирішення задачі підрахунку людей у натовпі. Матеріали XXVII Міжнародного молодіжного форуму «Радіоелектроніка та молодь у XXI столітті», Конференція «Сучасні методи обробки зображень», Т. 7. Харків: ХНУРЕ. (pp. 48-49).
5. Yakovleva, O., & Nikolaieva, K. (2020). Research Of Descriptor Based Image Normalization And Comparative Analysis Of SURF, SIFT, BRISK, ORB, KAZE, AKAZE Descriptors. Advanced Information Systems, 4(4), 89-101. doi:10.20998/2522-9052.2020.4.13.
6. Yakovleva O., Nebeský L, Liakhov P. (2023). Research methods of texture image analysis to solve the texture search problem. Proceedings of the IV International Scientific and Practical Conference. Vienna, Austria. 2023. pp. 252-261.
7. Bahmanyar, R., Vig, E., & Reinartz, P. (2019, September 27). MRCNet: Crowd Counting and Density Map Estimation in Aerial and Ground Imagery. URL: arXiv.org. <https://arxiv.org/abs/1909.12743>. (дата звернення: 5.02.2018).

8. CSRNet: Dilated Convolutional Neural Networks for Understanding the Highly Congested Scenes. IEEE Xplore. (n.d.). URL: <https://ieeexplore.ieee.org/document/8578218>. (дата звернення: 30.09.2023).

9. А.Р. Ковтуненко, О.В. Яковлева, В.А. Любченко, & О.В. Янголенко (2020) Дослідження сумісного використання математичної морфології та згорткових нейронних мереж для вирішення задачі розпізнавання цінників. Вісник Національного технічного університету ХПІ (3). 24–31.

10. Yakovleva O., Nebeský L., Kirichenko A. (2023). Using the GPT models for responses based on custom content to develop neural consultant for university applicants. Abstracts of V International Scientific and Practical Conference. Madrid, Spain. Pp. 172-178.

11. Welcome to Python.org. Python.org. (n.d.). URL: <https://www.python.org/about/> (дата звернення: 21.05.2011).

12. Project Jupyter. (n.d.). URL: <https://jupyter.org/> (дата звернення: 5.01.2021).

13. Yakovleva, O., Kovtunencko, A., Liubchenko, V., Honcharenko, V., & Kobylin, O. (2023). Face Detection for Video Surveillance-based Security System. CEUR Workshop Proceedings Vol. 3403. pp. 69-86. ISSN 1613-0073.

14. dlib C++ Library. (n.d.). URL: http://dlib.net/face_landmark_detection.py (дата звернення: 18.10.2023).

15. Datasets & Dataloaders – PyTorch Tutorials 1.8.1+cu102 documentation. URL: https://pytorch.org/tutorials/beginner/basics/dat_tutorial.html (дата звернення: 12.04.2019).

16. TensorFlow Datasets. TensorFlow. (n.d.). URL: <https://www.tensorflow.org/datasets> (дата звернення: 6.10.2023).

17. Chrabaszcz, P., Loshchilov, I., & Hutter, F. (2017, August 23). A Downsampled Variant of ImageNet as an Alternative to the CIFAR datasets. URL: arXiv.org. <https://arxiv.org/abs/1707.08819> (дата звернення: 24.11.2023).

18. Common Objects in Context. COCO. (n.d.). URL: <https://cocodataset.org/#home> (дата звернення: 30.10.2023).

19. CC0 Textures – Free Public Domain PBR Materials. (n.d.). URL: <https://cc0textures.com/> (дата звернення: 7.10.2023).

20. Neeraj, Rosebrock, A., Arun, Charles, Michael, Sveder, Abu, Suyuancheng, Abu, Dharmendra, Pradeep, Rui, Z., Wanderson, Danieal, Mahmood, Aquib, G., P., Bhat, S., Nisha, ... Fast. (2021, April 17). Local Binary Patterns with Python & OpenCV. PyImageSearch. URL: <https://www.pyimagesearch.com/2015/12/07/local-binary-patterns-with-python-opencv/> (дата звернення: 17.10.2023).

21. Яковлева, Е. В., & Кускова, И. В. (2006). Исследование результатов сегментации изображений методом матриц совпадений. Вісник Національного технічного університету «ХПІ». №39 - С.164 -171.

22. Klyuchka, Y. A., Cherednichenko, O. Y., Vasylenko, A. V., & Yakovleva, O. V. (2017). Forecasting the results of football matches on the internet based information. Bulletin of National Technical University “KhPI”. Series: System Analysis, Control and Information Technologies, 0(55), 51–59. <https://doi.org/10.20998/2079-0023.2017.55.09>.

23. Яковлева, Е. В., & Панченко, И. А. (2007). Применение энергетических характеристик Лавса для сегментации изображений. Бионика интеллекта : научно-технический журнал. №2(67). – С.94-98.

24. Yakovleva, O., Kovač, M., Ardasov, V. & Yeremenko, I. (2023). Study on adding functionality to the Zoom online conference system for monitoring the participant activities. Public Administration and Regional Development, 19(1), pp. 158–184.

25. Яковлева, О. В., & Нестерова, Є. П. (2009). Порівняльний аналіз методів характеристик Лавса та матриць збігів у завданнях сегментації текстурних зображень

26. Cherednichenko, O., Kanishcheva, O., Yakovleva, O., & Arkatov, D. (2020). Collection and Processing of a Medical Corpus in Ukrainian. corpus, 2(4), 7-14.

27. Cherednichenko, O., Yanholenko, O., Iakovleva, O., & Kustov, O. (2014). Models of Research Activity Measurement: Web-based monitoring implementation. *Information Systems: Education, Applications, Research*, 75–87. https://doi.org/10.1007/978-3-319-11373-9_7.

28. Cherednichenko, O., Vovk, M., Yanholenko, O., & Yakovleva, O. (2020). Towards the Technology of Employers' Requirements Collection Development. In *Integrated Computer Technologies in Mechanical Engineering* (pp. 228-239). Springer, Cham.

29. Cherednichenko, O., Vovk, M., Yanholenko, O., & Yakovleva, O. (2020). Towards the Technology of Employers' Requirements Collection Development. In *Integrated Computer Technologies in Mechanical Engineering* (pp. 228-239). Springer, Cham.

30. Іщенко О.І. (2023). Розробка методу аналізу графічного контенту в електронній колекції текстових документів для вирішення задачі пошуку плагіатних зображень. *Матеріали XXVII Міжнародного молодіжного форуму «Радіоелектроніка та молодь у XXI столітті», Конференція «Сучасні методи обробки зображень», Т. 7. Харків: ХНУРЕ. (pp. 56-67).*